

Research Article

Geochemistry and tectonic setting of Paleogene volcanic rocks of Rudbar in the south of Guilan, northern Iran: Implications for adakitic volcanism

Esmail Ebrahimi Nasirmahaleh¹ ID, Mojgan Salavati² ID
Saeid Hakimi Asiabar³ ID, Saeed Taki⁴ ID

¹ Ph.D. Student, Department of Geology, Lahijan Branch, Islamic Azad University, Lahijan, Iran, ebrahimiesmail66@gmail.com

² Assistant Professor, Department of Geology, Lahijan Branch, Islamic Azad University, Lahijan, Iran, salavati@liau.ac.ir; salavati1973@gmail.com

³ Assistant Professor, Department of Geology, Lahijan Branch, Islamic Azad University, Lahijan, Iran, saeid.h.asiabar@gmail.com

⁴ Assistant Professor, Department of Geology, Lahijan Branch, Islamic Azad University, Lahijan, Iran, taki_saeed2002@yahoo.com

ARTICLE INFO

Received: 20 November 2021

Accepted: 5 March 2022

Keywords

adakitic magmatism

slab window

subduction

Alborz

Guilan

Iran



10.1001.1.22285210.1402.14.1.3.8
 10.22108/ijp.2022.131551.1258

EXTENDED ABSTRACT**Introduction**

Volcanic rocks with adakitic nature, are outcropped, in the south of Rudbar city as a part of the Alborz magmatic zone and the northern part of the Alborz zone. Most of the rock units in this area are volcanic and pyroclastic belonging to the Tertiary age and specifically Middle Eocene.

For this study, we present new data to understand the origin and tectonic setting of the adakitic early Cenozoic magmatism in the southern part of the western Alborz orogenic belt.

Regional Geology

Based on the 1:100,000 Guilan geological map (Nazari and Salamati, 1998), the predominant geological units of the region include the Paleozoic, Mesozoic, and Cenozoic stratigraphic units. The volcanic activity resulting from the subduction of an oceanic crust beneath the active continental margin of Alborz began in Paleocene and its peak is attributed to the Lutsin period (Nazari and Salamati, 1998).

Materials and methods

Following microscopic studies, 11 samples were analyzed at Actlabs Lab in Canada by

Corresponding Author

To cite this article: Ebrahimi Nasirmahaleh, E., Salavati, M., Hakimi Asiabar, S. and Taki, S. (2023) Geochemistry and tectonic setting of Paleogene volcanic rocks of Rudbar in south of Guilan, northern Iran: Implications for adakitic volcanism. Petrological Journal, 14(1), 53-80.

ICP-MS method. IGPET and GCDKIT software were applied to draw diagrams and interpret the data.

Petrography and Whole rocks chemistry

The studied lavas consist mainly of dacite to trachy-dacite, rhyodacite, and rarely rhyolite. Abundant plagioclase as phenocrysts and microlites and rare amphibole, biotite, and quartz with hyaloporphyritic, microlithic porphyry to felsitic porphyry and microfelsitic textures are the dominant petrographic features of these rocks. Geochemically, they are characterized by mean value of 61.87 wt% <SiO₂<66.54, 1.1 wt% <MgO<2.8 wt%, 10 ppm <Y<14 ppm, 1.4 ppm <Yb<1.7 ppm, 450 ppm <Sr<1887 ppm as well as the average amounts of Sr/Y: 103.8, 10.5 <(La/Yb)_N<14.09 and 5.1 <Yb/Lu<6.5. Thus, the overall geochemical data point to HAS characteristics of the rocks under study.

On normalized spider diagram to chondrite, MORB, and primitive mantle, all rocks demonstrate subparallel trend, linear and homogeneous REE profiles with LILE and LREE enrichment together Ta, Nb, and Ti negative anomalies. As the tectonic diagrams display, all the studied samples are plotted in an arc volcanic granite field formed in a subduction environment in an active continental margin. Moreover, all the obtained geochemical data point to a high silica adakitic magma as the parent magma.

Discussion

The studied area lies in Alborz Mountain, which owing to the collision of two Eurasian and Arabian plates, where a Neo-Tethyan oceanic lithosphere (Southern Caspian Sea Ocean or SCO) is subducted beneath the Central Iranian continental lithosphere ([Salavati et al., 2013](#)), is an active deformation zone.

The studied rocks formed in arc and subduction zones setting. Adakitic rocks in the

arc setting can be produced by partial melting of a hot and young subducted oceanic slab and subduction of a very young oceanic crust (<5Ma) at depths of about 25 to 90 km is required to produce adakitic magma in the arc setting ([Thorkelson and Breitsprecher, 2005](#)).

In the north of the investigated area and south part of the Caspian Sea, an Alpian oceanic belonging late Cretaceous age was reported and named "Southern Caspian Sea Ocean ([Salavati et al., 2013](#))", which was subducted toward the south. Adakitic activity and not-adakitic magmatism continued to migrate toward the trench supporting a slab window model.

The proposed tectonomagmatic model "Ridge-Trench", indicates that the studied lavas were generated in the Neothetyan supra-subduction zone.

Based on this model, in the south of Guilan Province, SCO oceanic crust (and likely its ridge) has subducted towards the south the first because of a pressure change that might be caused by the extension and thinning of the overlying crust. A slab window was formed therefore in the source region, and partial melting occurred by asthenospheric upwelling. It looks like the adakitic rocks imply a deep source with a low magma source melting degree.

Conclusion

The overall petrological and geochemical features of the studied lavas gave rise to the following conclusions:

A new group of extrusive rocks, with remarkable geochemical characteristics of adakitic rocks, is outcropped in the south of Guilan Province

These rocks are characterized by HFSE and HREE depletion relative to LILE and LREE and negative Nb, Ta, and Ti anomalies, suggesting the parent magmas were affected by subduction-related geochemical processes.

On tectonic diagrams, the studied adakitic rocks plotted on an Active Continental Margin

setting and they show HAS characteristics produced by 5% to 10% partial melting of an amphibolite garnet source from a hot and young Cenozoic slab subduction.

All the geological and geochemical data indicate that the early Cenozoic adakitic magmas in the south of Guilan Province were generated in an extensional tectonic setting (Slab window setting) when the active spreading center of the Neo-Tethys oceanic (Southern Caspian Sea Ocean) subducted

toward the south and produced a slab window. According to the proposed model, the active spreading center of the Neo-Tethys oceanic crust (Southern Caspian Sea Ocean) subducted toward the south and produced a slab window in the subducted oceanic lithosphere.

Acknowledgments

We appreciate the Office of Graduate Studies of Islamic Azad University, Lahijan Branch.

زمین‌شیمی و جایگاه زمین‌ساختی سنگ‌های آتشفسانی پالوژن رودبار در جنوب گیلان، شمال ایران: شاهدی بر ولکانیسم آداسیتی

اسماعیل ابراهیمی نصیر محله^۱, مژگان صلواتی^۲سعید حکیمی آسیابر^۳, سعید تاکی^۴^۱ استادیار، گروه زمین‌شناسی، واحد لاهیجان، دانشگاه آزاد اسلامی، لاهیجان، ایران، ebrahimiesmail66@gmail.com^۲ استادیار، گروه زمین‌شناسی، واحد لاهیجان، دانشگاه آزاد اسلامی، لاهیجان، ایران، salavati@liau.ac.ir; salavati1973@gmail.com^۳ استادیار، گروه زمین‌شناسی، واحد لاهیجان، دانشگاه آزاد اسلامی، لاهیجان، ایران، saeid.h.asiabir@gmail.com^۴ استادیار، گروه زمین‌شناسی، واحد لاهیجان، دانشگاه آزاد اسلامی، لاهیجان، ایران، taki_saeed2002@yahoo.com**چکیده****اطلاعات مقاله**

سنگ‌های آتشفسانی با ترکیب آداسیتی، در جنوب شهرستان رودبار رخنمون دارند که بخشی از پهنه‌ماگماتی البرز در شمال ایران به شمار می‌رود. بیشتر آنها ترکیب داسیت تا تراکی داسیتی، ریوداسیتی و بهندرت ریولیتی دارند و بافت هیالوپورفیری، پورفیرومیکرولیتی و جریانی تا پورفیری فلسلیتی و میکروفلسلیتی همراه با درشت‌بلورها و میکرولیت‌های پلازیوکلاز، آمفیبول و گاهی بیوتیت و گاهی کوارتز نشان می‌دهند. برپایه بررسی‌های زمین‌شیمیایی، ماگماتی سازنده سنگ‌های بررسی شده روی نمودارهای بهنجارشده به ترکیب کندریت، مورب و گوشته اولیه، همه سنگ‌ها روندی موازی، خطی و همگن دارند و غنی شدگی مشخصی از عنصرهای LILE و REE. به همراه آنمالی منفی Ta, Nb و Ti نشان می‌دهند. محیط زمین‌ساختی نمونه‌ها نشان‌دهنده پیدایش آنها در محیطی فورانشی در یک حاشیه فعل قاره‌ای است. ویژگی‌های زمین‌شیمیایی نمونه‌ها ($\text{MgO} < 3\text{ wt\%}$, $\text{SiO}_2 > 57\text{ wt\%}$, $\text{La/Yb} > 20$ و $\text{Sr/Y} > 40$) گویای پیدایش آنها از ماگماتی به همراه نسبت‌های Y و Yb به همراه نسبت‌های Nb و Ta است. برپایه همۀ داده‌ها، نمونه‌های بررسی شده از ذوب ورقه اقیانوسی (اقیانوس جنوب دریای خزر) نزدیک به لبه ورقه و در جایگاه پنجه زمین‌ساختی پدید آمده‌اند.

کلید واژه‌ها

ماگماتیسم آداسیتی

پنجه زمین‌ساختی

فرورانش

البرز

گیلان

ایران



DOI: 10.1001.1.22285210.1402.14.1.3.8

10.22108/ijp.2022.131551.1258 doi



سنگ‌های آدکیتی گزارش شده‌اند (Khodami et al., 2009; Moharami Gargari et al., 2015; Yousefi et al., 2016; Mohammadi et al., 2017; Nemati et al., 2018; Sherafat and Aliyari, 2020; Fazelvalipour, 2021).

در جنوبی‌ترین بخش استان گیلان در جنوب شهرستان رستم‌آباد و شمال رودبار، سنگ‌های آتشفشنی و نیمه آتشفشنی متعددی به سن ائوسن رخمنون دارند که بیشتر آنها سنگ‌های آتشفشنی بازیک، حد واسط تا اسیدی (نقشه ۱:۱۰۰۰۰ رودبار) (داسیت، تراکیت، تراکی آندزیت تا بازالت) هستند. در این پژوهش تلاش می‌شود سنگ‌زایی^۱ گروهی از سنگ‌های آتشفشنی با ترکیب آدکیتی در منطقه بررسی شده برپایه بررسی‌های زمین‌شیمیایی ارزیابی شود.

روش انجام پژوهش

برای انجام این پژوهش، بررسی‌های صحرایی گستردۀ‌ای روی سنگ‌های آتشفشنی منطقه انجام شد و شمار ۶۰ نمونه سنگی برپایه روابط صحرایی برداشت شد. پس از بررسی‌های میکروسکوپی، شمار ۱۳ نمونه برای اندازه‌گیری مقدار عنصرهای اصلی و کمیاب در این سنگ‌ها برگزیده شدند و پس از خرد و آسیاب کردن در کارگاه آماده‌سازی پودر سنگ به روش ICP-MS^۲ در آزمایشگاه Actlabs کشور کانادا تجزیه شیمیایی شدند. در ادامه با استفاده از نرم‌افزارهای IGPET و GCDKIT نمودارهای موردنیاز ترسیم و به تفسیر و تحلیل داده‌ها پرداخته شد (جدول ۱). نام اختصاری کانی‌ها از ویتنی و اوانس (Whitney and Evans, 2010) برگرفته شده است.

زمین‌شناسی منطقه

سنگ‌های آتشفشنی بررسی شده با مختصات طول جغرافیایی "۱۰°۹'۲۱" تا "۴۹°۰'۵۸" خاوری و عرض جغرافیایی "۱۳°۴۵'۱۲" تا "۳۶°۴۹'۲۶" شمالی در جنوب استان گیلان، در ارتفاعات شمال شهرستان رودبار و در جنوب رستم‌آباد رخمنون دارند و بخشی از نقشه‌های زمین‌شناسی ۱:۲۵۰۰۰۰ رشت - قزوین و ۱:۱۰۰۰۰۰ رودبار را دربر می‌گیرند.

¹ petrogenesis

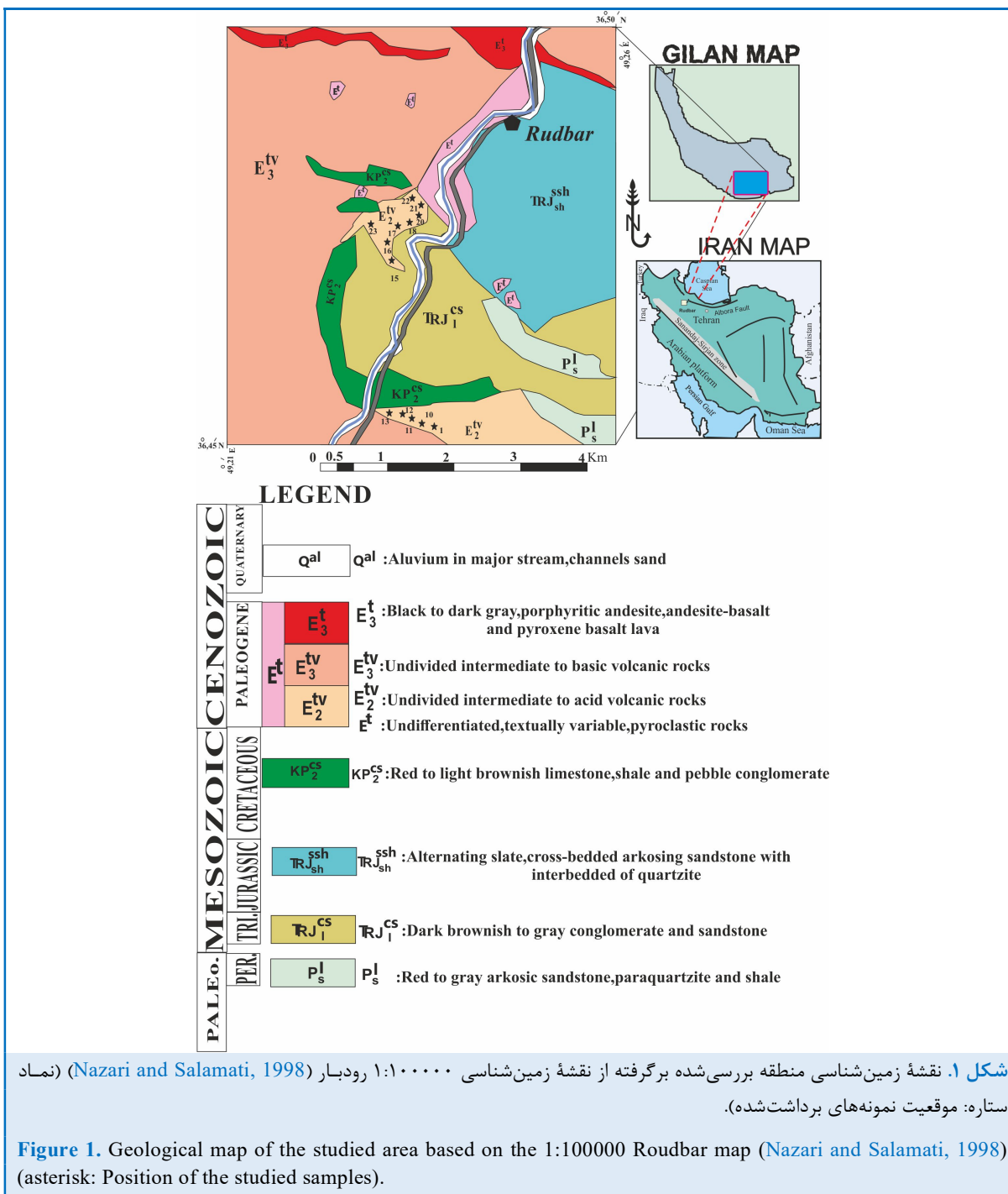
² Inductively coupled plasma mass spectrometry

فعالیت‌های آتشفشنی ایران در ارتباط با فرورانش پهنه‌ای اقیانوسی نئوتیس و شاخه‌های آن دانسته شده‌اند (Jung et al., 1976; Berberian and King, 1981; Berberian et al., 1982; Axen et al., 2001; Shahabpour, 2007; Asiabanza et al., 2009) (Asiabanza et al., 2009 به صورت دو پهنه آتشفشنی اصلی گزارش شده‌اند: پهنه‌البرز در شمال ایران و پهنه ارومیه-دختر پیرامون خردقاره ایران مرکزی (Jung et al., 1976; Caillat et al., 1978, Berberian et al., 1982, Amidi et al., 1984; Ghasemi and Talbot, 2005; Shahabpour, 2007; Asiabanza et al., 2009) در طول ائوسن و پس از ائوسن ماقمatisیم‌های متعددی پهنه‌البرز روی داده‌اند که تا کنون نیز ادامه دارند (Asiabanza et al., 2012) در منطقه بررسی شده و در جنوب گیلان بررسی‌های چندی درباره سنگ‌های آتشفشنی انجام شده است (Ghasemi et al., 2012; Haghnazan and Shafeie, 2013; Teymoori et al., 2018) که در همه آنها علت پیدایش سنگ‌های آتشفشنی این منطقه، همانند دیگر بخش‌های البرز، پیامد فرورانش رو به شمال اقیانوس نئوتیسی شمال ایران مرکزی دانسته شده است و در هیچ‌کدام از آنها به وجود سنگ‌های آدکیتی اشاره نشده است. کی (Kay, 1978) نخستین بار واژه «آدکیت» را برای توصیف گروهی از سنگ‌های اسیدی تا حد واسط در جزیره آدک آلاسکا به کار برد. کاستیلو (Castillo, 2006, 2012) آدکیت‌ها را سنگ‌های آذرین La/Yb و بیرونی غنی از سیلیس با نسبت‌های Y/Sr و Y/La درونی و بیرونی غنی از سیلیس با نسبت‌های آذربایجانی و یا پوسٹه اقیانوسی در پهنه‌های فرورانش حاشیه قاره و یا جزیره‌های کمانی پدید می‌آید. با وجود این، در مقایسه با سنگ‌های آذرین معمولی در حاشیه فعال قاره‌ای، از مقدار کمتری از عنصرهای Y و Yb برخوردار هستند (Martin, 1999) (Martin, 1999). بررسی‌های اخیر نشان می‌دهند سنگ‌های آدکیتی افزون بر جزیره‌های کمانی جوان در پهنه کمان‌های قاره‌ای، کمان‌های آتشفشنی بالغ، منطقه پس از برخورد و یا فرورانش Xu et al., 2002; Eyuboglu et al., 2018; Mbassa et al., 2021) پشتۀ فعال اقیانوسی (مناطق پشته-گودال) پدید می‌آیند (Xu et al., 2002; Eyuboglu et al., 2018; Mbassa et al., 2021) در ایران نیز در بخش‌های مختلف بروونزدهایی از

جدول ۱. داده‌های زمین‌شیمیابی سنگ‌های آتشفسانی پالئوژن رودبار به روش ICP-MS (اکسیدها برپایه درصد وزنی با خطای٪) عنصرهای کمیاب برپایه ppm: Fe_2O_3 : معرف آهن کل سنگ).

Table 1. The geochemical data of Paleogene volcanic rocks of Rudbar by the ICP-MS method (the oxides in weight percentage with 1% error; rare elements in ppm; Fe_2O_3 : the reagent of the total iron).

Sample No.	MA 11	MA 1	MA 12	MA 10	MA 13	MA 15	MA 16	MA 18	MA 20	MA 17	MA 21	MA 22	MA 23
SiO_2	63.12	62.59	66.45	67.10	66.54	65.20	62.96	63.58	61.87	65.24	64.48	61.96	62.78
Al_2O_3	15.25	15.16	15.97	15.90	15.80	15.20	15.35	15.68	15.22	15.32	15.84	15.35	15.12
$\text{Fe}_2\text{O}_{3(t)}$	4.53	4.56	3.96	3.95	3.92	4.51	4.45	4.31	4.22	3.80	4.10	4.45	4.12
MnO	0.05	0.08	0.05	0.07	0.05	0.06	0.05	0.06	0.05	0.06	0.05	0.05	0.05
MgO	2.02	2.01	0.71	1.10	0.90	2.30	2.10	2.20	2.80	2.12	2.28	2.02	2.60
CaO	3.90	3.95	3.31	3.20	3.10	3.91	3.62	3.84	3.65	3.99	3.82	3.95	3.55
Na_2O	2.80	2.91	3.87	3.79	3.80	2.90	2.88	2.94	3.12	3.84	3.45	3.80	3.80
K_2O	2.94	2.84	4.10	4.00	3.90	3.10	3.67	3.51	3.84	4.02	3.59	3.57	3.15
TiO_2	0.49	0.49	0.44	0.49	0.46	0.41	0.42	0.43	0.46	0.44	0.45	0.44	0.46
P_2O_5	0.12	0.11	0.17	0.19	0.16	0.15	0.17	0.19	0.14	0.18	0.19	0.15	0.15
LOI	5.22	5.28	1.52	1.10	0.98	2.10	3.54	3.84	3.44	1.54	1.98	3.54	3.54
Total	100.44	99.97	100.5	100.9	99.61	99.84	99.21	100.58	98.81	100.5	100.2	99.28	99.32
Sc	7.00	8.00	6.00	7.00	6.00	8.00	7.00	6.00	8.00	7.00	9.00	7.00	7.00
Be	2.00	2.00	2.00	2.00	2.00	2.00	2.00	2.00	2.00	2.00	2.00	2.00	2.00
V	85.00	86.00	71.00	70.0	72.0	84.00	87.00	85.00	79.00	74.00	76.00	86.00	81.00
Ba	972	970	791	790	788	969	975	975	984	798	784	975	980
Sr	1881	1882	455	450	454	1880	1879	1884	1887	540	565	1881	1883
Y	14.00	14.00	13.00	12.00	14.00	14.00	14.00	13.00	11.00	10.00	12.00	13.00	13.00
Zr	15	151	173	171	170	152	152	155	157	17	173	150	155
Co	9.00	9.00	6.00	5.00	6.00	8.00	9.00	8.00	6.00	7.00	9.00	8.00	8.00
Cu	60.00	60.00	30.00	35.00	40.00	60.00	55.00	45.00	40.00	60.00	50.00	60.00	55.00
Zn	80.00	90.00	40.00	41.00	40.00	90.00	80.00	90.00	100.00	90.00	80.00	80.00	100.00
Ga	16.00	17.00	16.00	18.00	17.00	15.00	16.00	18.00	17.00	19.00	17.00	16.00	16.00
Ge	1.00	1.00	1.00	1.00	1.00	1.00	1.00	1.00	1.00	1.00	1.00	1.00	1.00
As	6.00	5.00	8.00	5.00	7.00	6.00	8.00	6.00	5.00	7.00	6.00	5.00	6.00
Rb	80.00	81.00	85.00	89.00	84.00	82.00	91.00	89.00	85.00	81.00	83.00	80.00	88.00
Nb	9.00	9.00	10.00	11.00	9.00	8.00	8.00	9.00	10.00	8.00	7.00	9.00	11.00
Ag	0.90	0.80	0.90	0.70	0.90	0.80	0.50	0.80	0.70	0.60	0.80	0.80	0.80
Sb	0.80	0.80	0.80	0.70	0.80	0.50	0.90	0.70	0.90	0.70	0.80	0.80	0.60
Cs	4.80	4.90	2.50	2.20	2.40	4.70	4.70	4.90	4.80	2.40	2.30	4.90	4.80
La	26.70	26.80	29.80	29.60	29.40	27.30	26.40	26.90	26.80	29.20	29.10	26.80	26.80
Ce	47.90	48.20	52.00	53.00	51.00	47.90	50.10	47.90	48.10	50.10	52.60	48.20	47.70
Pr	4.87	4.88	5.29	5.18	4.90	4.78	5.12	5.32	4.85	4.78	4.90	4.88	4.90
Nd	18.40	18.70	19.10	19.30	18.98	18.80	18.70	18.60	18.70	18.90	19.20	18.70	18.90
Sm	3.20	3.30	3.30	3.40	3.10	3.50	3.20	3.10	3.10	3.30	3.20	3.30	3.30
Eu	0.99	0.99	0.95	0.94	0.96	0.98	0.97	0.96	0.99	0.98	0.97	0.99	0.95
Gd	2.40	2.50	2.70	2.60	2.40	2.80	2.80	2.40	2.80	2.60	2.70	2.50	2.80
Tb	0.40	0.40	0.40	0.40	0.40	0.40	0.40	0.40	0.40	0.40	0.40	0.40	0.40
Dy	2.60	2.50	2.50	2.70	2.60	2.50	2.40	2.70	2.60	2.50	2.40	2.50	2.60
Ho	0.50	0.50	0.50	0.50	0.50	0.50	0.50	0.50	0.50	0.50	0.50	0.50	0.50
Er	2.10	1.60	1.50	1.40	1.60	1.90	1.90	1.60	1.70	1.90	1.80	1.60	1.70
Tm	0.23	0.23	0.23	0.23	0.22	0.23	0.35	0.33	0.24	0.25	0.35	0.23	0.24
Yb	1.50	1.60	1.50	1.40	1.50	1.60	1.50	1.60	1.70	1.50	1.60	1.60	1.60
Lu	0.28	0.27	0.27	0.25	0.29	0.28	0.28	0.29	0.26	0.24	0.29	0.27	0.28
Hf	3.50	3.40	4.00	3.80	4.20	3.60	3.50	3.30	3.40	3.90	3.70	3.40	3.60
Ta	0.70	0.70	0.80	0.70	0.90	0.70	0.80	0.90	0.70	0.60	0.90	0.70	0.80
Tl	0.40	0.40	0.40	0.40	0.40	0.40	0.40	0.30	0.50	0.40	0.30	0.40	0.50
Pb	10.00	10.00	21.00	20.00	23.00	11.00	12.00	18.00	17.00	20.00	22.00	10.00	17.00
Th	8.10	7.90	8.90	8.50	8.60	8.20	8.20	8.10	8.40	8.30	8.10	7.90	8.20
U	2.60	2.70	2.80	2.70	2.60	2.80	2.70	2.60	2.40	2.90	2.80	2.70	2.40
$\text{K}_2\text{O}/\text{Na}_2\text{O}$	1.05	0.98	1.06	1.06	1.03	1.07	1.27	1.19	1.23	1.05	1.04	0.94	0.83



منطقه در پهنه البرز باختری جای گرفته است. در نخستین بررسی‌ها، آنلز و همکاران (Annells et al., 1975) در این منطقه و در چهارگوش قزوین-رشت، سه فاز جداگانه از نهشت‌های آتشفسانی اونسن با لیتوپلولوژی‌های متعدد شناسایی کردند:

منطقه بررسی شده بخشی از پهنه ساختاری البرز-آذربایجان است (Nabavi, 1976) و برپایه پهنه‌بندی قربانی (Ghorbani, 2013)، در بخش شمالی پهنه البرز جای دارد. همچنین، برپایه پهنه‌بندی استوکلین (Stocklin, 1968)، این منطقه در پهنه البرز و برپایه پهنه‌بندی افتخارنژاد (Eftekhar

متوسط تا بازیک میوسن با ناهمسازی از نوع آذرین‌پی پیوسته‌اند (شکل ۲). در نقشهٔ زمین‌شناسی رودبار، چرخهٔ فعالیت از جنوب به شمال جوان شده و از سنگ‌هایی مانند آندزیت-داسیت-ریوداسیت-آندزیت توف و داسیت توف تشکیل شده است. از دیدگاه دیرینه‌شناسی و چینه‌شناسی، در محدوده نقشهٔ زمین‌شناسی رودبار، دو مرز پالئوسن و الیگوسن برای فعالیت‌های آتشفسانی در نظر گرفته شده است؛ اما با توجه به ویژگی‌های چینه‌شناسی و ساخت و بافت سنگ‌های آتشفسانی، سن این واحدهای آتشفسانی ائوسن دانسته شده است (Nazari and Salamati, 1998). از این رو فعالیت‌های آتشفسانی حاصل از فرواش پوسته‌ای اقیانوسی به زیر لب قاره‌ای فعال البرز از پالئوسن آغاز شده است و اوج چنین فعالیت‌هایی در زمان لوتسین دانسته شده است (Nazari and Salamati, 1998).

برپایهٔ بررسی‌های صحرایی، توالی آتشفسانی ائوسن منطقه دربردارنده سنگ‌های گدازهای و آذرآواری است. بیشترین بخش منطقهٔ بررسی شده را واحد گدازه‌های آتشفسانی بازیک تا حد واسط (E^{IV_3}) پوشانده است. سنگ‌های بررسی شده در این پژوهش به صورت واحدهای سنگی آتشفسانی حد واسط تا اسیدی واحد E^{IV_2} در بخش میانی و جنوبی منطقه بررسی شده به صورت گدازه‌های داسیتی و تراکی داسیتی رخمنون دارند (شکل ۲). جوان‌ترین واحد آتشفسانی منطقه بررسی شده در شمال منطقه شامل گدازه‌های بازالتی، آندزیزی بازالتی و آندزیت هستند. سنگ‌های آذرآواری واحد Et نیز بیشتر در دو سوی رودخانه سفید رود بروند دارند.

سنگ‌نگاری

واحدهای گدازهای بررسی شده به صورت تراکی داسیت، داسیت‌ها و گاهی ریولیتی قابل دسته‌بندی هستند. بافت هیالوپورفیری، پورفیرومیکرولیتی و جریانی تا پورفیری فلسيتی و ميكروفلسیتی در آنها دیده می‌شوند. درشت‌بلورها و ميكروليت‌های پلازيوکلاز از فراوان‌ترین کانی آنها هستند و منطقه‌بندی و بافت غبارآلود یا غربالی در آنها دیده می‌شوند (شکل ۳).

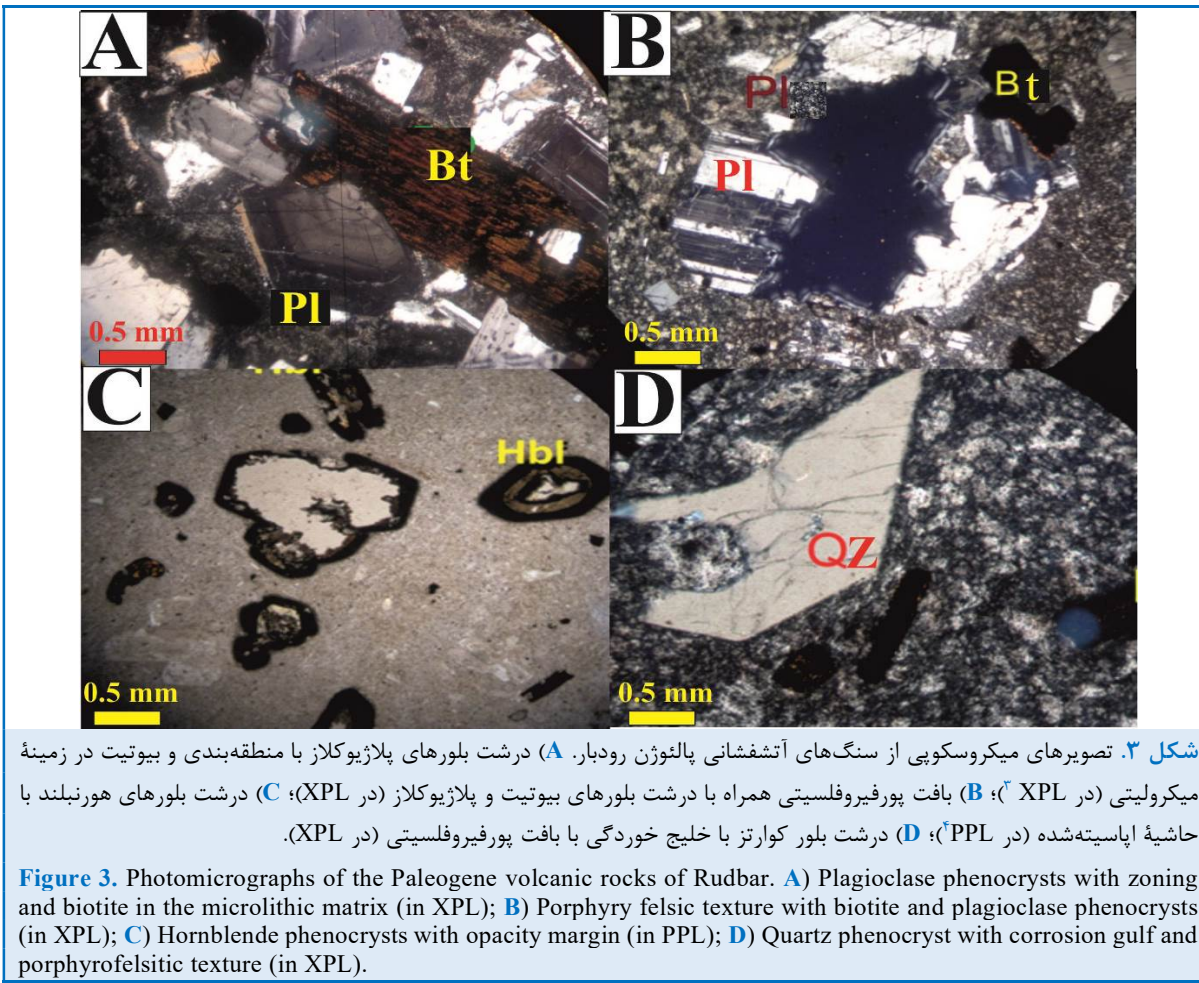
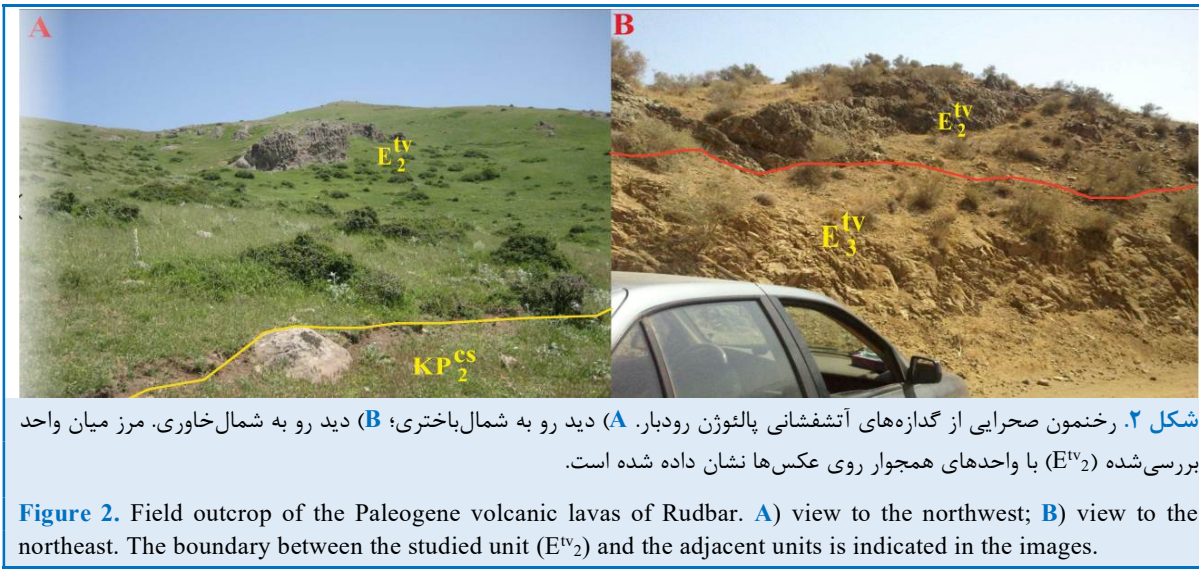
فاز (۱) شامل توف‌ها و گدازه‌های آندزیتی و اسیدی و گل‌سنگ‌های توفی با سن احتمالی ائوسن که در بیشتر بخش‌ها معادل با توف‌های سبز کرج دانسته شده‌اند؛

فاز (۲) متشکل از گدازه‌های حد واسط تا بازیک که در محیط خشکی به صورت آتشفسان هواپی شکافی با ماهیت کمر افجاری فوران کرده‌اند. فاز دو ترازی دانسته می‌شود که در آن خروج گدازه‌های بازیک و گدازه‌های آندزیتی خشکی جایگزین توف‌های دریابی فاز یک شده است؛

فاز (۳) از گدازه‌های آندزیتی و آندزیزی بازالتی، گنبدهای داسیتی-ریولیتی و نهشته‌های آذرآواری حاصل از فوران‌های هواپی تشکیل شده‌اند (Annells et al., 1975). همه این مجموعه‌ها توسط توده‌های آذرین درونی متعددی با جنس‌های مختلف از بازیک تا حد واسط و اسیدی (از گابرو تا گرانیت) پس از ائوسن پسین قطع شده‌اند (Ghasemi et al., 2012).

واحدهای زمین‌شناسی منطقه برپایهٔ واحدهای موجود در نقشهٔ ۱:۱۰۰۰۰ رودبار شامل واحدهای سنگ‌چینه‌ای پالئوزویک، مزوزویک و سنوزویک هستند؛ به‌گونه‌ای که قدیمی‌ترین رخمنون‌های سنگی منطقه، واحدهای سنگی پالئوزویک با لیتولوژی ماسه‌سنگ‌های قرمز تا خاکستری آركوزی با قاعدةٔ کوارتزیتی و میان‌لایه‌های شیلی به سén پرmin هستند که به سوی بالا به آهک‌های خاکستری تیره و ستبرلایه چرت‌دار تغییر رخساره داده‌اند (Nazari and Salamati, 1998)، واحدهای سنگ‌چینه‌ای مزوزویک در منطقهٔ بررسی شده، شامل ردیف رسوبی دلتایی تریاس بالایی-ژوراسیک زیرین، چینه‌های آواری ژوراسیک زیرین و میانی، ردیف کربناته ژوراسیک میانی و بروندزهایی از سنگ‌های کرتاسه را شامل می‌شوند.

در بلندی‌های جنوبی رودبار، در دو سمت سفیدرود، واحد آواری کنگلومرای پسرونده کرتاسه پسین-پالئوسن ($KP_{(2)}^{CS}$) رخمنون دارد. مرز بالایی کنگلومرای کرتاسه پسین-پالئوسن در همهٔ بروندزها گسله است و پس از این مرحله، در زمان پالئوسن و ائوسن، چند فعالیت آتشفسانی مشتمل بر توف‌زایی و ریزش گدازه به شکل متناوب دیده می‌شود. از دیدگاه ترکیب، فعالیت‌های آتشفسانی به سمت ائوسن پایانی، اسیدی‌تر شده‌اند و به گدازه‌های

³ Cross Polarized Light⁴ Plane Polarized Light

برای دوری از تأثیر دگرسانی گرمابی روی ترکیب شیمیایی سنگ‌ها، ترجیحاً از فراوانی عنصرهای کمیاب و کم تحرک Zr, Ti, Nb و Y برای رده‌بندی و شناسایی دقیق‌تر این سنگ‌ها بهره گرفته شد.

در نمودار Y/Nb-Zr/TiO₂ که سنگ‌ها را برپایه سرشت آنها (آلکالینیت) و مراحل مختلف تحول‌شان (بازیک- حد وسط- جدایش‌یافته) رده‌بندی می‌کند، سنگ‌هایی بررسی‌شده در محدوده ریوداسیت تا داسیت جای می‌گیرند (شکل ۴-۴).

روی نمودار دو تایی Ta/Yb در برابر Th/Yb سنگ‌های آتشفشاری بررسی‌شده در محدوده سنگ‌های حاشیه‌فعال قاره‌ای جای می‌گیرند (شکل ۵).

در نمودار عنکبوتی بهنجارشده به ترکیب پشتۀ میان‌اقیانوسی (Sun and McDonough, 1989) میان‌اقیانوسی (Wilson, 1989)، در این نمودارها آنومالی منفی الگوی عنصرهای کمیاب نمونه‌ها روند مشابهی نشان می‌دهد؛ به‌گونه‌ای که از Sr, K, Rb, Ba, Th, LILE غنی و از HFSE (Nb, Ti) (Pb) تهی شده‌اند (شکل ۶-۶). همانند مagmaهای مرتبط با فرورانش (Gill, 1981; A)، در این نمودارها آنومالی منفی مشخصی برای Nb و Ti و آنومالی شدیداً مثبتی برای Pb دیده می‌شود که نشانهٔ دخالت سیال‌های جدایش از تخته (قطعهٔ فرورونده) یا رسوب‌های همراه آنست (Yan et al., 2008).

تهی‌شدگی از نیوبیم و تانتالیم نسبت به لیتوفیل‌های بزرگ یون در محیط‌های فرورانش پیامد افزوده‌شدن سیال‌هایی با این ترکیب یا بجا ماندن نیوبیم و تانتالیم در فازهای بجامانده در خاستگاه دانسته می‌شود (Temizle and Arslan, 2008). دیدگاه‌های گوناگونی درباره آنومالی منفی (Gill, 1981) و ویلسون (Wilson, 1989)، این آنومالی از ویژگی‌های بازالت‌های magmaهای کمان پهنه‌های فرورانش است.

در الگوی عنصرهای خاکی کمیاب بهنجارشده به ترکیب کندریت (Sun and McDonough, 1989)، روند فراوانی عنصرها در همه سنگ‌های بررسی‌شده در مقایسه با ترکیب کندریت تقریباً موازی است (شکل ۶-۶) (B).

گاهی بلورهای آمفیبیول با چندرنگی سبز یا قهوه‌ای دیده می‌شوند و در برخی نمونه‌ها حاشیه اپاسیته دارند (شکل ۳-C). بیوتیت در برخی نمونه‌ها دیده می‌شود و مانند آمفیبیول گاه اپاسیته شده هستند (شکل‌های ۳-A و ۳-B). کوارتز به صورت درشت‌بلورهای بی‌شکل با خلیج‌خوردگی (نزدیک به ۵ درصد حجمی) و در زمینه ریزدانه فلزیتی وجود دارد (شکل ۳-D). ریوداسیت‌ها همراه با داسیت‌ها با کانی‌شناسی مشابه حضور دارند.

شیمی سنگ کل

برپایه داده‌های تجزیه زمین‌شیمیایی نمونه‌های بررسی‌شده (جدول ۱)، میزان SiO₂ این سنگ‌ها برابر با ۶۱/۸۷ تا ۶۷/۱ درصدوزنی، TiO₂ با مقدادر کم برابر با ۰/۴۹ تا ۰/۴۹٪، Al₂O₃ با مقدادر برابر با ۱۵/۱۲ تا ۱۵/۱٪ درصدوزنی، میزان MgO مقدار CaO کم (۳/۹۹-۳/۱ درصدوزنی)، میزان ۷۸۴ ppm کم (۰/۷-۰/۸ درصدوزنی)، Ba با مقدادر برابر با ۱۸۸۳ تا ۴۵۰ ppm تا ۹۸۰ برابر با Zr، ۱۷۳ تا ۱۵۰ ppm با تغییرات ۷ ppm تا ۱۱، ۲۹/۶ <La<۲۶/۷ ppm، ۱۱، ۱۴ ppm، محتوای بالای آلکالی‌ها Na₂O (۰/۲-۰/۲۸٪ درصدوزنی)، K₂O (۰/۳-۰/۴٪ درصدوزنی) و میزان Fe₂O₃ در بازه ۰/۸ تا ۰/۱۵٪ درصدوزنی هستند. مقدادر بالای نسبت K₂O/Na₂O در نمونه‌های بررسی‌شده (برابر با ۰/۸۳ تا ۰/۲۷٪) از ویژگی‌های برخی از آداکیت‌های جدایش از Karsli et al., 2010; Dokuz et al., 2013; He et al., 2020 تخته فرورونده است.

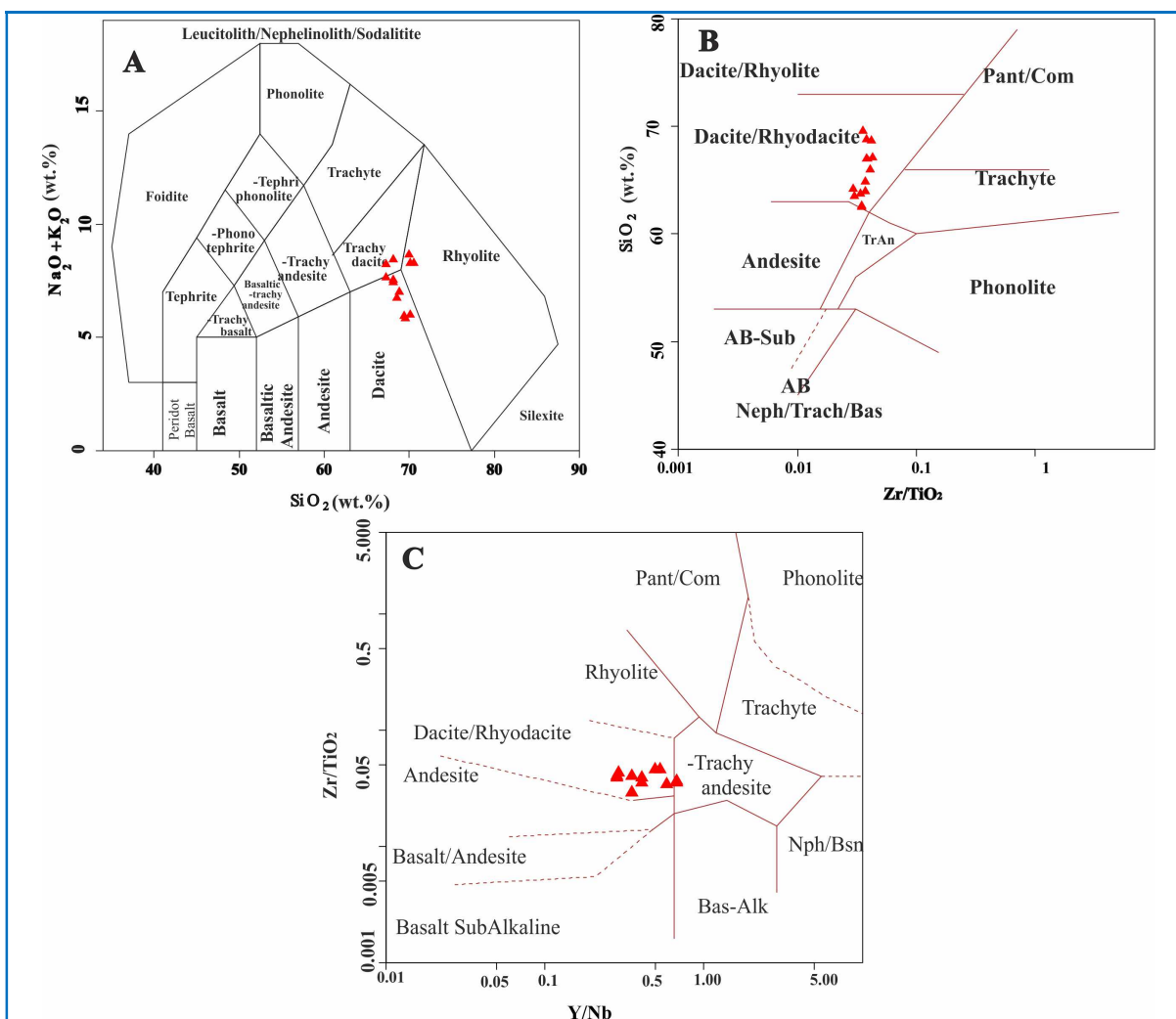
روی نمودارهای متعارف شناسایی سنگ‌های گوناگون که تغییرات SiO₂ در برابر مجموع آلکالی‌ها (K₂O+Na₂O) را بررسی کنند، سنگ‌های بررسی‌شده در محدوده تراکی داسیت، داسیت و ریولیت جای گرفته‌اند (شکل ۴-A). همچنین، روی نمودار Zr/TiO₂ در برابر SiO₂ (شکل ۴-B)، تقریباً همه نمونه‌ها در محدوده ریوداسیت، داسیت تا تراکی آندزیت جای گرفته‌اند.

پهنه‌های فرورانشی معمولاً^۷ یا پیامد خاستگاه گوشته‌ای دانسته می‌شوند که پیشتر توسط فعالیت متاسوماتیسمی سیال‌های آزادشده از رسوب‌ها یا تخته فرورانده از عنصرهای LILE^۸ و HFSE^۹ غنی شده (Pearce, 1983; Ilbeyli et al., 2004) است و یا می‌تواند ویژگی مagmaهای برخاسته از گوشه‌سنگ‌کره‌ای زیرقاره‌ای باشد که هنگام فرورانش اولیه پدید آمده است.

⁷ Large-Ion Lithophile Elements
⁸ High Field Strength Elements

نسبت تفریق LREE/HREE^{۱۰} نسبتاً بزرگ و تفریق و غنی‌شدگی Ce/Yb)_N=۷/۱-۹/۶ LREE است (شکل B-۶). بالابودن فراوانی عنصرهای خاکی کمیاب سبک نسبت به عنصرهای خاکی کمیاب سنگین از ویژگی‌های بارز سنگ‌های پهنه‌های فرورانش است. در این مناطق غنی‌شدگی از HREE در مقایسه با LREE به خوبی دیده می‌شود (Winter, 2001). غنی‌شدگی عنصرها در

⁵ Heavy Rare Earth Elements
⁶ Light Rare Earth Elements

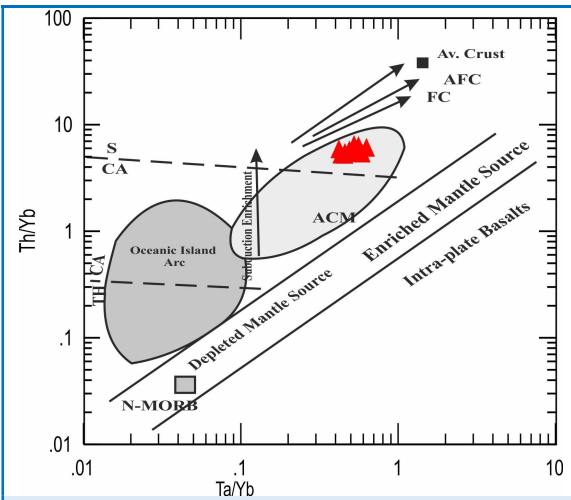


شکل ۴. ترکیب سنگ‌های آتشفشاری پالئوزن روبار در A) نمودار SiO_2 در برابر مجموع آلکالن (Middlemost, 1985); B) نمودار SiO_2 در برابر Zr/TiO_2 (Winchester and Floyd, 1977); C) Y/Nb در برابر Zr/TiO_2 (Winchester and Floyd, 1977).

Figure 4. Composition of the Paleogene volcanic rocks of Rudbar on A) SiO_2 versus total alkali diagram (Middlemost, 1985); B) SiO_2 versus Zr/TiO_2 diagram (Winchester and Floyd, 1977); C) Y/Nb versus Zr/TiO_2 diagram (Winchester and Floyd, 1977).

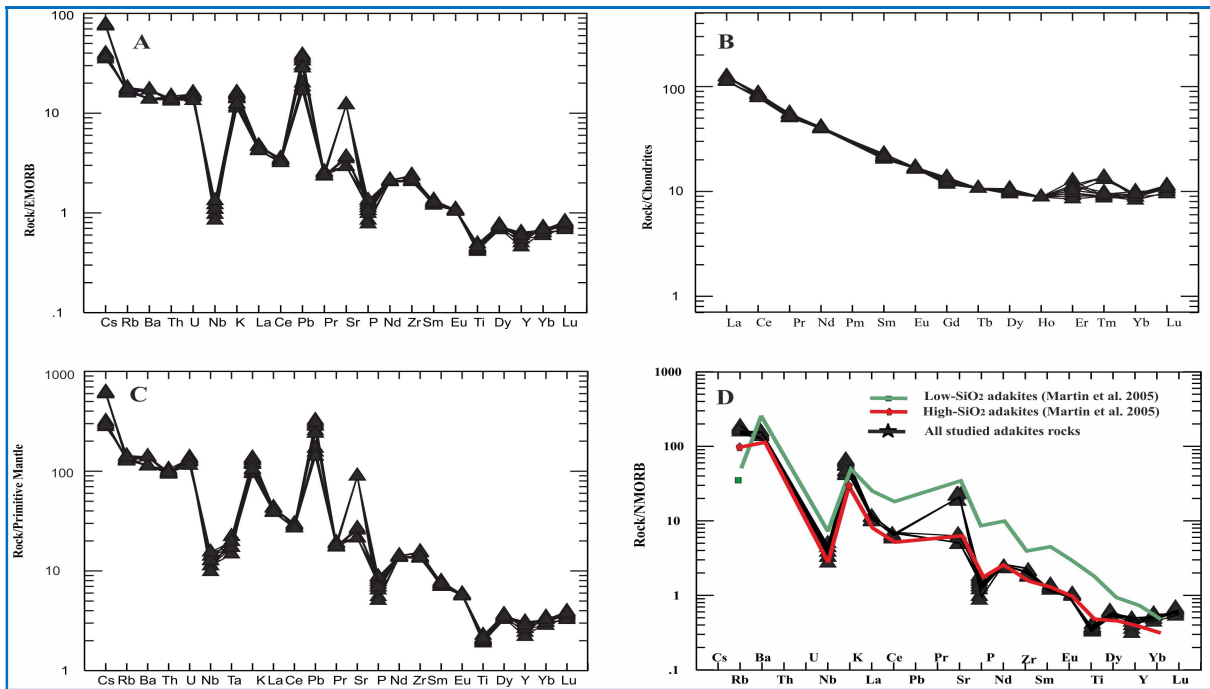
در نمودارهای عنکبوتی بهنجارشده به ترکیب گوشتۀ اولیه (Sun and McDonough, 1989) نمونه‌های بررسی شده از عنصرهای Ba, Rb, Cs, Pb و Th غنی شدگی بیشتری نشان می‌دهند. این ویژگی چه بسا نشانهٔ متاسوماتیسم خاستگاه توسط سیال‌های محیط فروزانش باشد (Seghedi et al., 2004); اما مقدار غنی شدگی LILE چشمگیر نیست. آنمالی منفی Nb در این نمودارها نیز به چشم می‌خورد (شکل ۶-۴). مقایسه نمونه‌های بررسی شده با نمونه‌های آدکیت‌های کم‌سیلیس و آدکیت‌های پرسیلیس روی نمودار بهنجارشده به ترکیب N-MORB^۹ نشان‌دهندهٔ تشابه نمونه‌های بررسی شده با آدکیت‌های پرسیلیس است (شکل ۶-۴).

^۹ Normal Mid-Oceanic Ridge Basalts



شکل ۵. سنگ‌های آتشفشاری پالئوزن رودبار در نمودار تغییرات دربرابر Th/Yb (پس از پیرس Pearce, 1983)

Figure 5. Paleogene volcanic rocks of Rudbar on the Ta/Yb versus Th/Yb diagram (after Pearce (1983)).



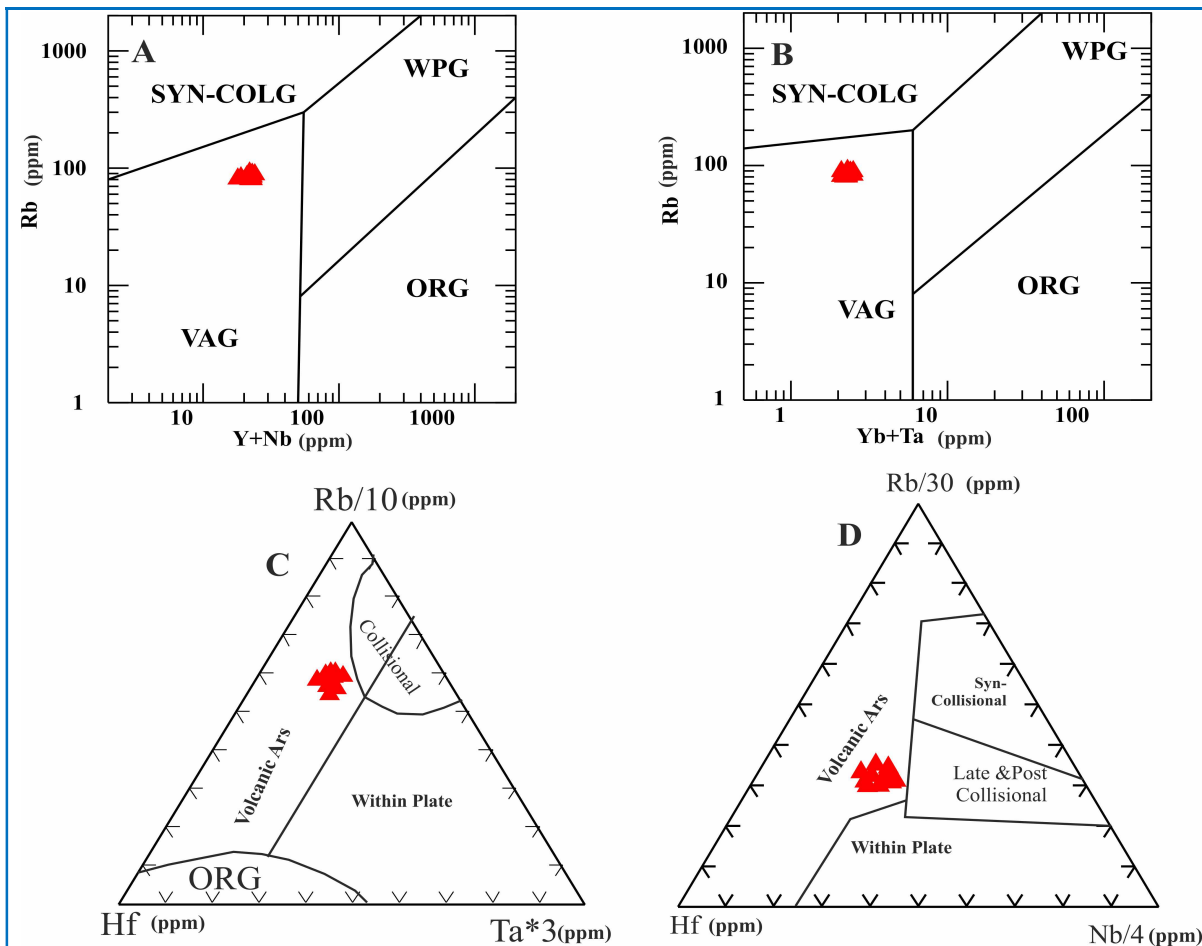
شکل ۶. ترکیب سنگ‌های آتشفشاری پالئوزن رودبار در نمودارهای عنکبوتی بهنجارشده به (A) ترکیب بازالت پشتۀ میان اقیانوسی غنی شده (Sun and McDonough, 1989); (B) ترکیب گوشتۀ اولیه (MORB); (C) ترکیب کندریت؛ (D) EMORB (Hastenrath et al., 2005).

Figure 6. Composition of Paleogene volcanic rocks of Rudbar on the spiderdiagram normalized to **A**) Enriched MORB (E-MORB); **B**) Chondrite; **C**) Primitive mantle. Normalization values are from Sun and McDonough (1989).

¹⁰ Enriched Mid-Oceanic Ridge Basalts

کانی‌های هورنبلند، اکسیدهای آهن و تیتانیم (روتیل و ایلمینیت) در خاستگاه ذوب ماغماست (Defant and Drummond, 1990; Defant and Kepezhinskas, 2001; Rosu et al., 2004). در نمودارهای زمین‌ساختی، نمونه‌های بررسی شده در محدوده سنگ‌های اسیدی کمان آتشفشاری جای می‌گیرند (شکل ۷).

ذوب در شرایط نبود یا ناپایداری پلازیوکلаз، افزایش Sr در ماغما را به دنبال دارد و نیز در نمودارهای بهنجارشده به ترکیب کندریت ناهنجاری منفی Eu دیده نمی‌شود (Defant and Drummond, 1990; Defant and Kepezhinskas, 2001; Rosu et al., 2004). افزون بر این، ناهنجاری منفی Ta در نمونه‌های بررسی شده چه بسا پیامد حضور Ti و Nb



شکل ۷. ترکیب سنگ‌های آتشفشاری آغازین روبار در: **A** و **B**) نمودارهای لگاریتمی برای تفکیک جایگاه زمین‌ساختی گرانیتوییدها: SCG (Syn-COLG granites; WPG: Within plate Granites; VAG: volcanic arc granites; ORG: Mide oceanic ridge Granites); **C** و **D**) نمودارهای تفکیک جایگاه زمین‌ساختی گرانیتوییدها (Harris et al., 1986)

Figure 7. Composition of the Paleogene volcanic rocks of Rudbar on **A** and **B**) Logarithmic tectonic setting discrimination diagrams of granitoids (Pearce et al., 1984) (SCG: Syn-COLG granites; WPG: Within plate Granites; VAG: volcanic arc granites; ORG: Mide oceanic ridge Granites); **C** and **D**) Tectonic setting discrimination diagrams for granitoids (Harris et al., 1986).

بالاتر و مقادیر MgO, Yb و Y کمتر است. همچنین، غنی‌شدگی از عنصرهای LREE و LILE و تهی‌شدگی از

در نمونه‌های بررسی شده، نسبت به سنگ‌های آتشفشاری کالک‌آلکالن عادی، مقادیر Sr/Y و La/Yb از

فشار رخساره اکلوژیت-آمفیبولیت پدید می‌آیند (Castillo, 2006).

برپایه بررسی‌های کاستیلو (Castillo, 2006)، مقدار $\text{MgO} < 3\text{wt\%}$ ، $\text{Al}_2\text{O}_3 > 15\text{wt\%}$ ، $\text{SiO}_2 > 56\text{wt\%}$ ، $\text{Sr} > 400\text{ppm}$ ، غنی‌شدگی از LREE و LILE، تهی‌شدگی از Y و HREE و نسبت‌های $\text{Sr/Y} < 40$ و $\text{La/Yb} < 20$ از ویژگی آداکیت‌ها به شمار می‌روند (جدول ۲).

عنصرهای Ti، Nb، HREE و Al_2O_3 نبود آنومالی منفی یوروپیم مشابهت این نمونه‌ها با سنگ‌های آداکیتی تا شبه آداکیتی را نشان می‌دهند. به باور کاستیلو (Castillo, 2006, 2012)، آداکیت‌ها شامل سنگ‌های اسیدی تا حد واسط کالک‌آلکالن با گستره از آندزیت، داسیت تا ریوداسیت هستند که از ذوب‌بخشی قطعه فرورونده داغ و جوان (کمتر از ۲۰ میلیون سال سن) در عمق معادل با

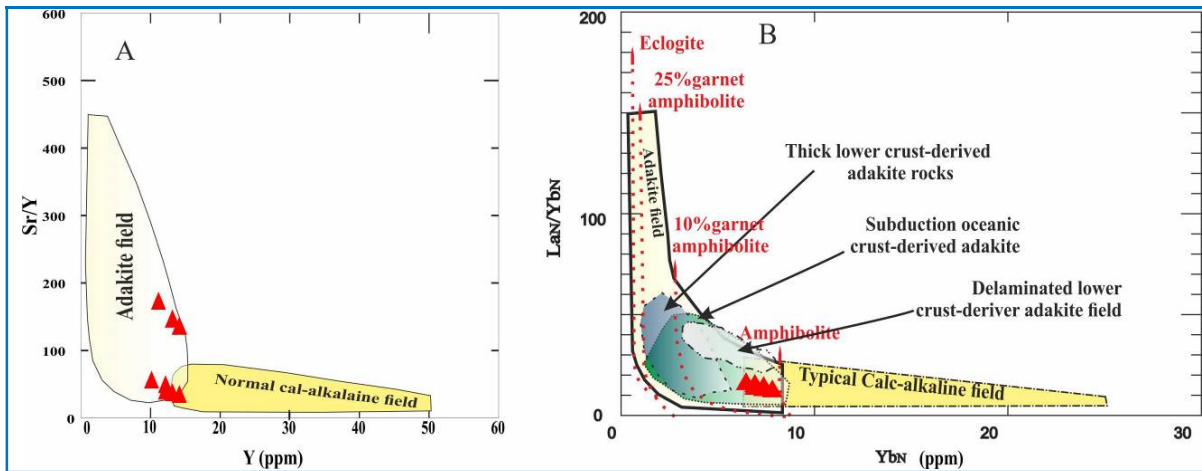
جدول ۲. ویژگی‌های عمومی سنگ‌های آداکیتی (Castillo, 2006)

Table 2. General characteristics of adakitic rocks (Castillo, 2006).

Average in the studied samples	Possible correlation with the melting of the subducted slab	Properties
64.14 wt%	High-pressure melting of eclogite or garnet-amphibolite.	High $\text{SiO}_2 > 56\text{wt\%}$
15.47 wt%	For SiO_2 about 70% high-pressure melting of eclogite or amphibolite.	High $\text{Al}_2\text{O}_3 \geq 15\text{wt\%}$
1.93 wt%	If the melt is primary and the Ni and Cr values are low, it indicates that they did not originate from the peridotite mantle.	Low $\text{MgO} < 3\text{wt\%}$
1347 ppm	Melting of plagioclase or its absence in the melting residue.	High $\text{Sr} > 300\text{ ppm}$
They do not have Eu anomalies	Melting residues with small amounts of plagioclase or basalt depleted from Eu.	There was no Eu anomaly
12.8 ppm	Garnet (or to a lesser extent hornblende or clinopyroxene) in the molten residue or as a liquid phase (liquidus).	Low 15 ppm $\text{Y} <$
103.79 ppm	More than the values created by fractional crystallization.	High $\text{Sr/Y} > 20$ ppm
1.55 ppm	Low HREE indicates the presence of garnet in the molten residue or the liquidus phase.	Low $\text{Yb} < 19$ ppm
Low	Like many arcs, it indicates the presence of a Ti phase or amphibole phase at the source.	Low HFSEs (Nb, Ta)
-	With high $^{143}\text{Nd}/^{144}\text{Nd}$ and Low $^{206}\text{Pb}/^{204}\text{Pb}$, K/La , Rb/La , and Ba/La which, if not contaminated, are similar to the mid-ocean ridge basalt.	Low $^{87}\text{Sr}/^{86}\text{Sr} < 0.704$

سنگ‌های کالک‌آلکالن کمان‌های ماقمایی از سنگ‌های آداکیتی با توجه به تهی‌شدگی آداکیت‌ها از عنصرهای خاکی کمیاب سنگین نسبت به عنصرهای خاکی کمیاب سبک پیشنهاد کرده است، نمونه‌های سنگی بررسی شده در محدوده مشترک آداکیت و کالک‌آلکالن و در محدوده آداکیت‌های جداسده از پوسته اقیانوسی فرورانده شده جای می‌گیرند (شکل ۸).

روی نمودارهای تفکیک‌کننده سنگ‌های آداکیتی و کالک‌آلکالن، نمودارهای Y در برابر نسبت Sr/Y نمونه‌های بررسی شده در محدوده آداکیت جای می‌گیرند (شکل ۸). مقادیر نسبت Y از ۱۳۴ از ۳۲ بیشتر است. این ویژگی همانند آداکیت‌های است. جایگیری برخی نمونه‌های بررسی شده در محدوده مشترک کمان‌های نرم‌مال و آداکیت‌ها چه‌بسا پیامد محیط پیدایش آنها در حاشیه فعال قاره‌ای باشد. در نمودار Yb_{N} در برابر نسبت $\text{La}_{\text{N}}/\text{Yb}_{\text{N}}$ (بهنجارشده به ترکیب کندریت) که مارتین (Martin, 1999) برای تفکیک



شکل ۸. ترکیب سنگ‌های آتشفشاری پالخوژن رودبار در: (A) نمودار Y در برابر نسبت Sr/Y (Defant and Drummond, 1990); (B) نمودار Yb_N در برابر La_N/Yb_N به ترکیب کندریت (Nakamura, 1974) برای تفکیک سنگ‌های کالک‌آلکالن عادی از آداکیت‌ها (Martin, 1999)، به همراه منحنی‌های ذوب آمفیبولیت و اکلوزیت (Wang et al., 2002).

Figure 8. Composition of the Paleogene volcanic rocks of Rudbar on A) Y versus Sr/Y diagram (Defant and Drummond, 1990); B) Chondrite-normalized Yb_N versus La_N/Yb_N diagram (Nakamura, 1974) for discrimination of normal calc-alkaline rocks from adakites (Martin, 1999) and the melting curves of amphibolite and eclogite (Wang et al., 2002).

با میزان SiO_2 برابر با ۵۰ تا ۶۰ درصدوزنی، نسبت Y برابر با ۱۰۰ تا ۳۰۰ برابر با La/Yb نزدیک به ۱۰ شناخته می‌شوند (Moyen, 2009). آداکیت‌های قاره‌ای با بازه گستردگرتری از سیلیس (از کمتر از ۶۰ تا بیشتر از ۷۵ درصدوزنی) و میزان کم Y (از Yb/Lu ۱۵۰-۱۵) و نسبت Sr/Y و Yb و La/Yb و Sr/Y و Yb/Lu نزدیک به ۱ شناخته می‌شوند (Xiao et al., 2007). آداکیت‌های آرکئن بر اثر فرورانش و ذوب قطعه فرورانده در کمریند گرینستون دیده می‌شوند، معمولاً فلزیک هستند، میزان Na_2O بالا و K_2O کمی دارند و نسبت Y بالای نشان می‌دهند (Moyen, 2009).

نمونه‌های بررسی شده با مقدار $\text{SiO}_2 > 61\text{wt\%}$ ، میزان $\text{Yb} < 1.6 \text{ ppm}$ و $\text{Y} < 14 \text{ ppm}$ (Moyen, 2009)، میزان $\text{Sr}/\text{Y} > 450$ و $\text{Sr}/\text{Y} < 450$ و $\text{Yb}/\text{Lu} < 5/1$ (HSA) همانند آداکیت‌های پرسیلیس (HAS) هستند. همچنین، برپایه نمودارهای تفکیکی، نمونه‌های بررسی شده در قلمروی آداکیت‌های پرسیلیس (HAS) جای می‌گیرند. برپایه نمودارهای شکل ۹، نمونه‌های بررسی شده در محدوده آداکیت‌های پرسیلیس

به طور کلی آداکیت‌ها به ۴ گروه دسته‌بندی می‌شوند (Moyen, 2009):

- آداکیت‌های پرسیلیس (HSA);^{۱۱}
- آداکیت‌های کم سیلیس (LSA);^{۱۲}
- آداکیت‌های قاره‌ای؛
- آداکیت‌های آرکئن.

آداکیت‌های پرسیلیس (HSA)، در پی ذوب بخشی مستقیم پوسته بازالتی فرورونده پدید می‌آیند و آداکیت‌های کم سیلیس (LSA) پیامد ذوب بخشی گوشته گارنت‌دار و متاسوماتیسم شده (در اثر مذاب‌های آزادشده از سنگ‌کره فرورونده) هستند.

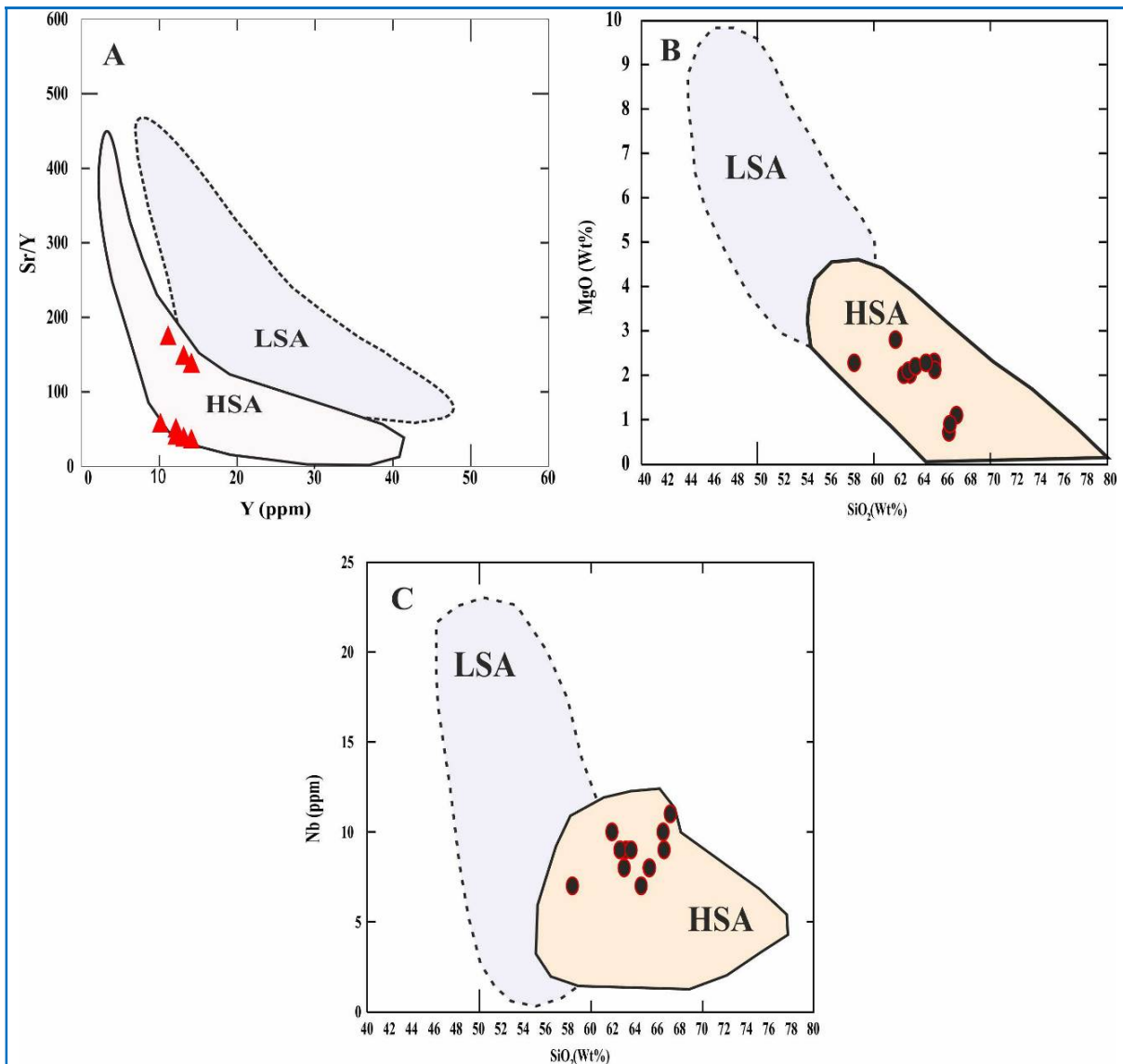
آداکیت‌های پرسیلیس (HSA) با $\text{SiO}_2 > 56 \text{ wt\%}$ (Moyen, 2009)، میزان $\text{Yb} < 18 \text{ ppm}$ و $\text{Y} < 18 \text{ ppm}$ (Deummond and Defant, 1990; Oyarzun et al., 2001; Reich et al., 2003; Moyen, 2009) و نسبت $\text{Yb}/\text{Lu} < 40$ و $\text{Sr}/\text{Y} > 400 \text{ ppm}$ (Moyen, 2009) نزدیک به ۵ شناخته می‌شوند (Defant and Drummond, 1990; Oyarzun et al., 2001; Reich et al., 2003; Moyen, 2009).

^{۱۱} High silica adakite

^{۱۲} Low silica adakite

بالایی در فشار معادل با محدوده پایداری گارنت پدید آمده است که در هنگام صعود، با پریدوتیت گوئه گوشه‌ای نیز واکنش داده است (Martin et al., 2005).

(HSA) هستند که نشان می‌دهد ماقمای مادر سنگ‌های بررسی شده چه بسا از ذوب‌بخشی سنگ‌کره اقیانوسی فرورونده با ترکیب مورب در رخساره اکلوژیت یا آمفیبوالت



شکل ۹. نمودار تمایزکننده آداکیت‌های پرسیلیس (HSA) و آداکیت‌های کم سیلیس (LSA) (Martin et al., 2005)

Figure 9. Discrimination diagrams of high-silica adakites (HSA) and low-silica adakites (LSA) (Martin et al., 2005).

گارنت پدید می‌آیند. همچنین، در نمودارهای بهنجارشده به ترکیب کندریت، الگوی HREE در آداکیت‌های پرسیلیس شکل مقعری دارد و نسبت Yb/Lu در آنها به ۵ نزدیک است (Moyen, 2009). برای تولید ماقمای آداکیتی الگوهای متفاوتی ارائه شده

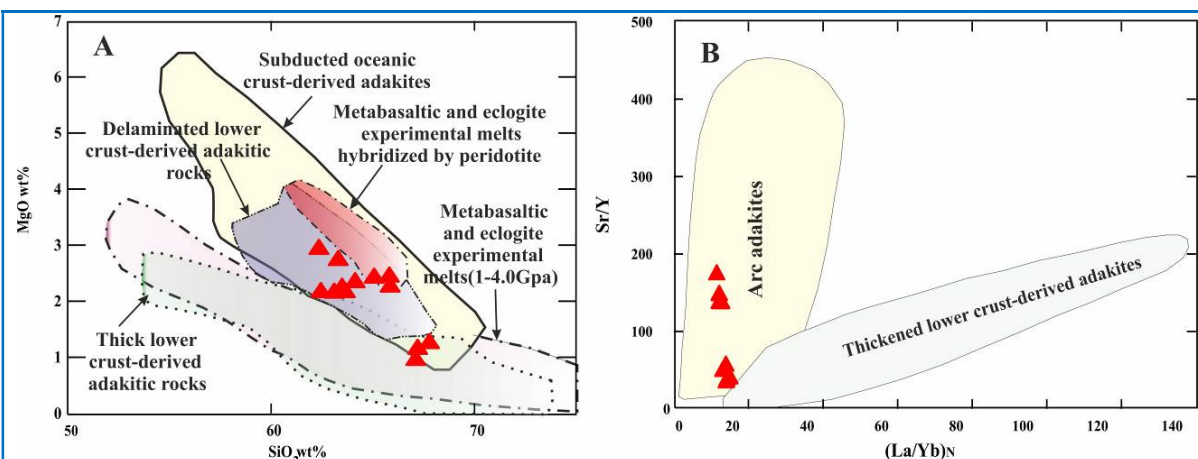
از دیدگاه ویژگی‌های زمین‌شیمیابی، آداکیت‌های پرسیلیس (HSA) دارای $\text{MgO} < 3\text{wt\%}$, $\text{SiO}_2 > 56\text{wt\%}$ میزان کم Y و $\text{Yb} < 1/9$ (Yb<1/9) و میزان نسبتاً بالای La/Yb ($\text{La/Yb}_{\text{N}} > 10$) و $\text{Sr/Y} > 40$, ($\text{Sr} > 300$). این آداکیت‌ها در گستره پایداری (Defant et al., 2002)

(Rapp et al., 2002)، ذوببخشی ورقه اقیانوسی فرورونده داغ و جوان (Castillo, 2012). برپایه نمودارهای شکل ۱۰، نمونه‌های بررسی شده در محدوده آداسیت‌های مرتبط با فروزانش جای می‌گیرند. جایگزینی سنگ‌های بررسی شده در نمودار دوتایی Th/Yb در برابر Ta/Yb، پیدایش این سنگ‌ها در منطقه حاشیه فعال قاره‌ای را تأیید می‌کند (شکل ۵).

است:

- ۱- فرایند جدایش بلورین و هضم در مذابی بازالتی (Macpherson et al., 2006)
- ۲- ذوببخشی پوسته زیرین مافیک ضخیم شده (Atherton) (and Petford, 1993)
- ۳- ذوببخشی پوسته قاره‌ای زیرین در پی لایه‌زدایی یا لایه‌لایه‌شدن^{۱۳} (Zhai et al., 2007)
- ۴- ذوببخشی پوسته زیرین در پی نفوذ بازالت‌های داغ

¹³ Delamination



شکل ۱۰. ترکیب نمونه‌های آداسیت‌های آتشفشاری پالئوزن رودبار در: **A**) نمودار دوتایی SiO_2 : MgO دربرابر MgO (Liu et al. (2010))؛ محدوده آداسیت‌های قاره‌ای و آداسیت‌های مناطق فروزانش (Liu et al. (2010))؛ محدوده مذاب‌های تجربی اکلوژیت و متازالتی (۱-۴Gpa) (Rapp et al., 1991, 1999, 2002; Rapp and Watson, 1995; Prouteau et al., 1999; Skjerlie and Patino Douce, 2002)؛ محدوده مذاب‌های تجربی هیریدی اکلوژیت و متازالتی (Rapp et al., 1999). (Rapp et al., 1999).

Figure 10. Composition of the Paleogene volcanic rocks of Rudbar on **A**) Bivariate SiO_2 versus MgO diagram; **B**) $(\text{La}/\text{Y})_{\text{N}}$ versus Sr/Y diagram (Continental adakite field and subduction zone adakite from Liu et al. (2010)); Field of experimental eclogite and metabasaltic melts (Gpa 1-4) (Rapp et al., 1991, 1999, 2002; Rapp and Watson, 1995; Prouteau et al., 1999; Skjerlie and Patino Douce, 2002) and the field of experimental eclogite and metabasalt hybrid melts (Rapp et al., 1999).

بررسی شده روی نمودارهای عنصرهای کمیاب و خاکی کمیاب بهنجارشده به ترکیب گوشته اولیه و کندریت گویای بی‌هنجری منفی P , Sr , Ba , Eu است که به باور برخی پژوهشگران White and Chappell, 1983; Chappell and White, 1992; Pe-Piper, 2002 در پیدایش مagmaی آنها نقشی نداشته است. پس می‌توان گفت این مجموعه از ذوببخشی magmaی حاصل از پوسته فرورونده

بحث

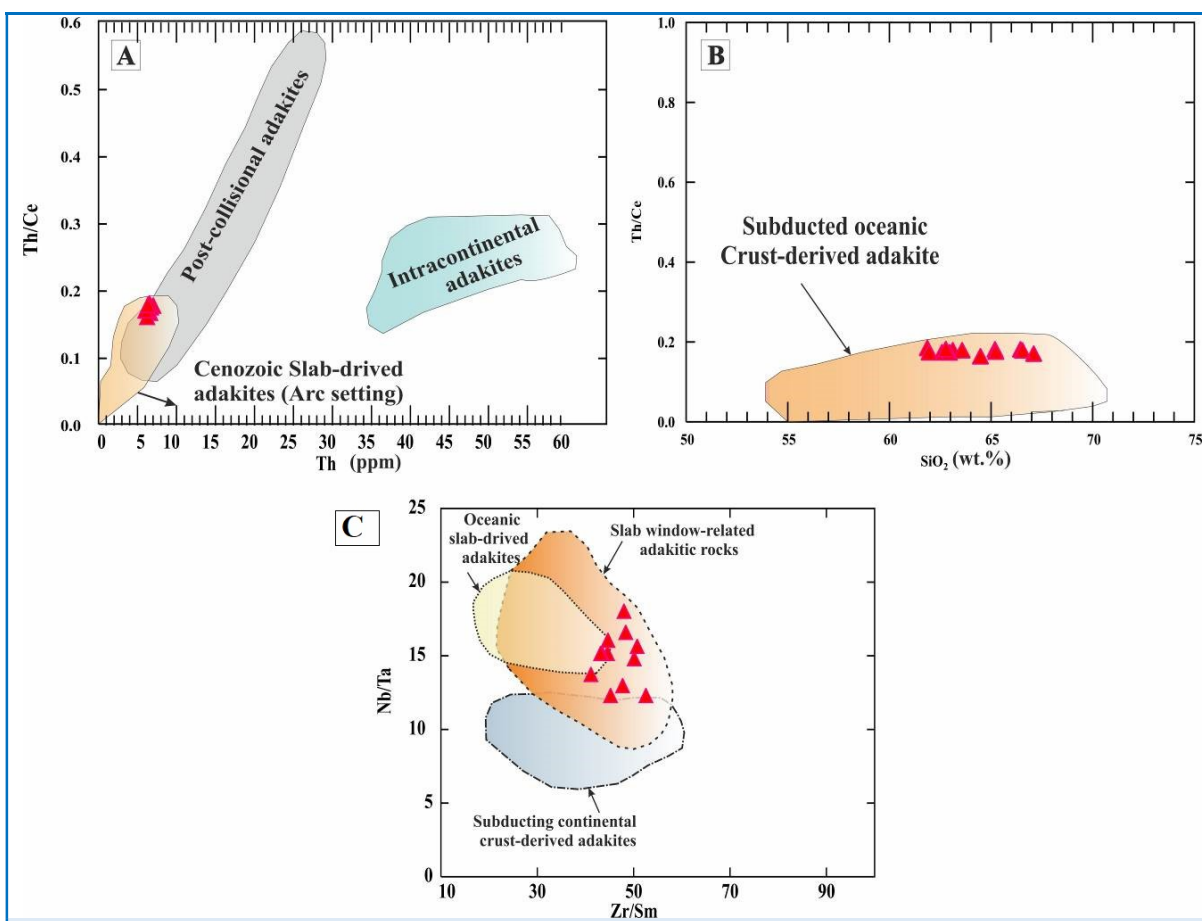
بررسی‌های انجام‌شده در جیرنده در خاور منطقه Ghasemi et al., 2012; Teymoori et al., 2018) در شمال منطقه بررسی شده (Taki et al., 2009) گویای رخداد فرایندهای magmaی وابسته به حاشیه فعال قاره‌ای هستند.

بررسی شواهد زمین‌شیمیایی نمونه‌های آداسیتی

۰/۰۵، ۰/۱۶ و ۰/۲۷/۶۷ است که نشان‌دهنده نقش پوسته فرورونده در پیدایش مagma‌های آداسیتی آنهاست. در نمونه‌های بررسی شده، همانند آداسیت‌های مشتق از ذوب قطعه‌های فرورانده شده، مقدار Rb/Sr کم (نزدیک به ۰/۰۱ تا ۰/۰۴) است. در نمودارهای Th/Ce و SiO_2 دربرابر که برای تعیین خاستگاه آداسیت‌ها به کار می‌روند، نمونه‌های بررسی شده در محدوده آداسیت‌های با خاستگاه فرورانشی و محدوده کمان‌های magma‌ای جای می‌گیرند (شکل ۱۱).

به همراه رسوب‌های فرورانده پدید آمده است و خاستگاه گوشتهای (آداسیت‌های LSA) و پوسته قاره‌ای (آداسیت‌های قاره‌ای) ندارد.

ماگماهای حاصل از پوسته فرورونده و یا رسوب‌های فرورانده، نسبت $\text{Th}/\text{Ce} > 0/15$ ، $\text{Nb}/\text{Zr} > 0/05$ ، Hawkesworth et al., 1997 (Vroon et al., 1993; Elburg et al., 2002) است، در نمونه‌های آداسیتی بررسی شده، میانگین Sr/Ce نسبت‌های Sr/Ce و Nb/Zr و Th/Ce به ترتیب برابر با



شکل ۱۱. ترکیب سنگ‌های آتشفسانی پالئوژن رودبار روی **A**: نمودار Th/Ce دربرابر Th (Guo et al., 2007); **B**: نمودار SiO_2 دربرابر Th/Ce ; **C**: نمودار Nb/Ta دربرابر Zr/Sm (Wang et al., 2008). محدوده آداسیت‌های مشتق از پوسته قاره‌ای فرورانده شده و آداسیت‌های مشتق از تخته فرورونده اقیانوسی (Condie, 2005; Wang et al., 2008) و محدوده آداسیت‌های مرتبط با پنجره زمین‌ساختی از (Eyuboglu et al., 2012).

Figure 11. Composition of the Paleogene volcanic rocks of Rudbar on **A**) Th versus Th/Ce (Guo et al., 2007); **B**) SiO_2 versus Th/Ce (Wang et al., 2008); **C**) Zr/Sm versus Nb/Th diagram (Defant and Drummond, 1990). The field of subducted continental crustal adakites and oceanic subductant adakites from Condie (2005) and Wang et al. (2008) and the field of adakites associated with the slab window (Eyuboglu et al., 2012).

نام اقیانوس جنوب خزر (SCO¹⁶) که حوضه‌ای پشت کمانی دانسته شده است (Salavati et al., 2009)، با شبیب رو به جنوب در حال فرورانش در سنوزوییک بوده است و آثار آن به صورت مجموعه‌ای افیولیتی کامل با سن کرتاسه پایانی بررسی و گزارش شده است (Salavati et al., 2009; Salavati et al., 2013) وجود این مجموعه افیولیتی گواهی بر وجود پهنه فرورانش شمالی در منطقه بررسی شده است.

در شمال منطقه بررسی شده و در خاور استان گیلان، توده‌های گابروهایی به همراه گذاره‌های بالشی با دو سرشت Zaeimnia et al., (2012; Salavati et al., 2013) جداگانه OIB و توله‌ایتی گزارش شده‌اند (Rezania ye Komachali, 2021) افزون بر آن، در بررسی‌های اخیر، وجود توده‌های گرانیتوییدی نوع A (Ebrahimi Nasir Mahaleh, 2021) کمان‌های عادی در این مناطق گزارش شده است (Thorkelsona and Breitsprecher, 2005). مجموعه این شواهد وجود پهنه فرورانش در زمان ائوسن در حوضه خزر جنوبی، احتمال وجود الگوی زمین‌ساختی «پشته-گودال¹⁷» در منطقه را تأیید می‌کند.

برپایه این الگو، در پی فرورانش پشتة میان اقیانوسی فعال و جوان به زیر پوسته قاره‌ای و ادامه فعالیت آن در زیر این پوسته پنجره‌های گوشتی‌ای پدید می‌آید که در اثر آن مگماهای سست کرده به بالا صعود می‌کنند. برپایه بررسی‌های ژانگ (Zhang, 2014) و تورکلسوانا و Thorkelsona and Breitsprecher, (2005) در پی فرورانش پشتة میان اقیانوسی و بازشدن پنجره سنگ‌کره‌ای، مگماتیسیم OIB به همراه گرانیتوییدهای نوع A در مرکز آن روی داده‌اند و در حاشیه سنگ‌های کمان و نزدیک به پنجره سنگ‌کره‌ای، سنگ‌های آدکیتی از ذوب پوسته فرورونده در منطقه‌ای به نام «پهنه آدکیت» پدیدار می‌شوند.

شواهد ارائه شده از بررسی‌های پیشین و جدید گویای فرورانش پوسته اقیانوس نئوتیسی جنوب دریای خزر (SCO) به زیر حاشیه شمالی رشته کوه البرز

بررسی‌ها روی آدکیت‌ها در محیط‌های حاشیه فعال قاره‌ای نشان می‌دهند فرورانش پوسته اقیانوسی جوان و داغ در اعماق ۲۵ تا ۹۰ کیلومتری می‌تواند مگماهای آدکیتی جایگاه‌های فرورانشی را پدید آورد (Lopez and Castro, 2001; Thorkelsona and Breitsprecher, 2005). بررسی آدکیت‌ها در تبت (Zhang, 2014) شمال خاوری ترکیه، در جنوب دریای سیاه (Eyuboglu et al., 2018) و همچنین، در کمریند کوه‌زای آسیای مرکزی¹⁴ از چین تا قفقاز (Windley and Xiao, 2018) نشان از پیدایش آدکیت‌ها در محیط‌های حاشیه فعال قاره‌ای هنگام عملکرد پنجره زمین‌ساختی¹⁵ در هنگام فرورانش یک پشتة اقیانوسی فعال جوان در منطقه دارد. برپایه این بررسی‌ها در این مناطق، پیدایش پنجره زمین‌ساختی مجموعه‌ای از سنگ‌های را در کنار هم پدید می‌آورد؛ به گونه‌ای که افزون بر آدکیت‌ها و سنگ‌های OIB کمان نرمال، گرانیت‌های نوع A و سنگ‌های از نوع Windley and Xiao, (2018; Királya et al., 2020; Wang et al., 2021) و توله‌ایتی را پدید خواهد آورد.

در بررسی‌های پیشین در شمال منطقه بررسی شده و در حوضه جنوب دریای خزر یک پهنه فرورانشی مربوط به بسته‌شدن اقیانوس نئوتیسی آپی با شبی از شمال به جنوب در سنوزوییک گزارش شده است Jackson et al., 2002; Kaz'min and Tikhonova. 2006; Hakimi Asiabar, 2010; Salavati et al., 2008; Hakimi Asiabar et al., 2011; Babaey et al., 2017 همکاران (Eyuboglu et al., 2012) با بازسازی محیط ژئودینامیکی شمال ترکیه در جنوب دریای سیاه تا جنوب دریای خزر وجود یک پهنه فرورانش با شبی به سمت جنوب را به اثبات رسانند. به باور آنها، همه لبه شمالی کمان مگماهای پهنه پونتیدس خاوری-قفقاز کوچک-البرز در طول سنوزوییک پهنه فعالی در حاشیه قاره‌ای بوده است که در پی فرورانش رو به جنوب سنگ‌کره اقیانوس تیس پدید آمده است.

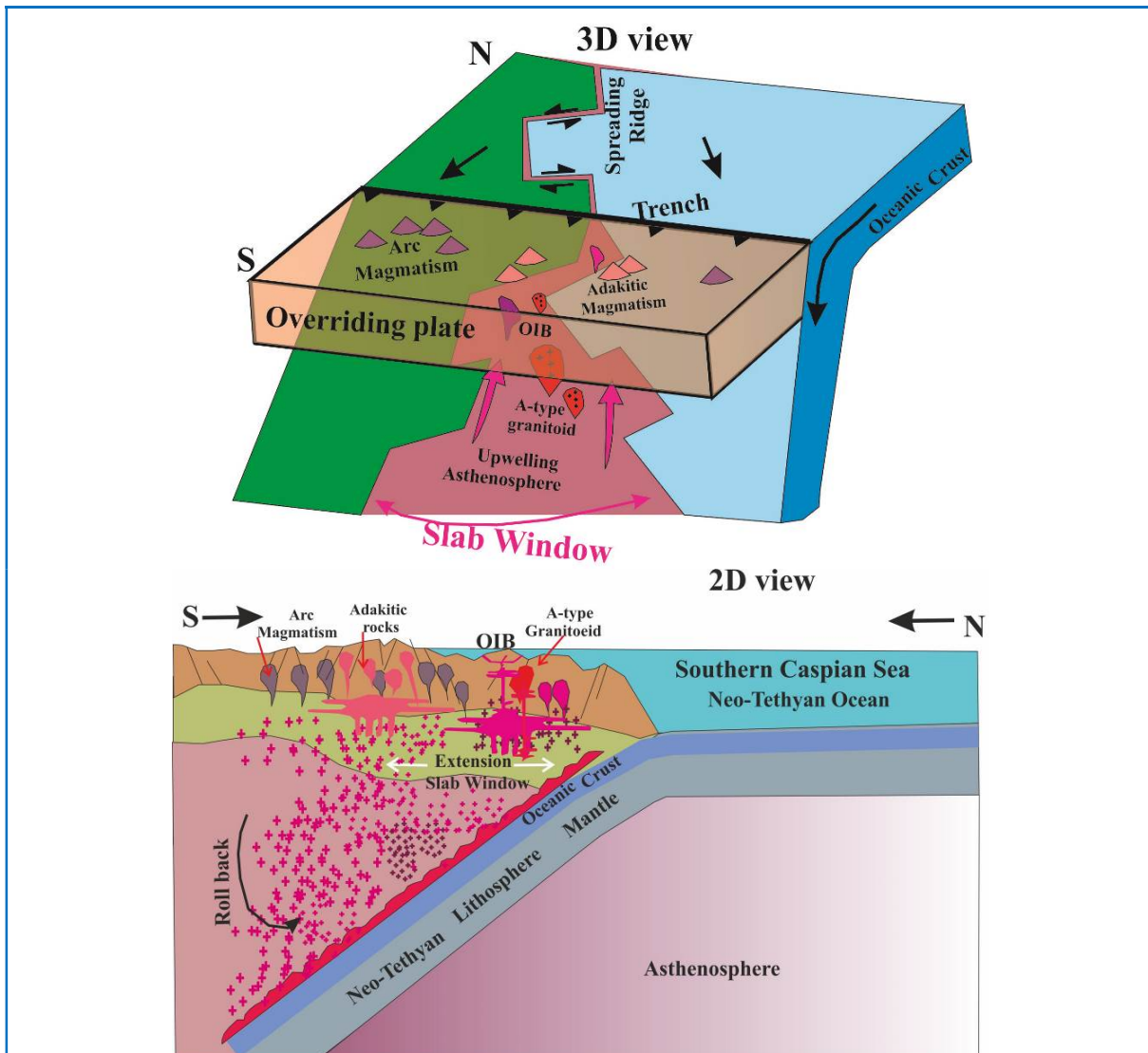
در شمال منطقه بررسی شده، مجموعه افیولیتی (Ba

¹⁴ CAOB: Central Asian Orogenic Belt

¹⁵ Slab window

داشته است. ذوب‌بخشی این پوسته در اعماق و با درجات متفاوت ذوب‌بخشی در برخی محدوده‌ها همزمان با پیدایش پنجره زمین‌ساختی در پهنه فرورانش مagmaی آدکیتی را تولید کرده است (شکل ۱۲).

(Ghorbani, 2013) از زمان پس از کرتاسه پسین هستند. شواهد زمین‌شناسی منطقه گویای این هستند که تداوم این فرورانش به‌سوی جنوب، فرورفتن پشتۀ میان‌اقیانوسی و پیدایش پنجره زمین‌ساختی را در پی



شکل ۱۲. تصویر شماتیک پیشنهادی برای الگوی تکتونومگمایی و چگونگی پیدایش سنگ‌های آدکیتی در منطقه بررسی شده (برپایه الگوی پیشنهادی آیبوگلو و همکاران (Eyuboglu et al., 2018)).

Figure 12. A proposed schematic tectonomagmatic model for the formation of the adakitic rocks in the studied area (Based on the proposed model of Eyuboglu et al. (2018)).

گیلان از دیدگاه سنگ‌شناسی دامنه ترکیبی از داسیت تا تراکی‌داسیت، ریوداسیت و بهندرت ریولیت دارند.

برداشت
سنگ‌های آتشفشاری پالاؤزن رودبار در جنوب

برپایه همه اطلاعات، گمان می‌رود سنگ‌های بررسی شده، در پی ذوب‌بخشی ورقهٔ فروروندهای مرتبط با فرورانش را به جنوب اقیانوس نئوتیسی جنوب دریای خزر (SCO)، در بخش جنوبی پهنهٔ گرگان-رشت و بخش شمالی پهنهٔ البرز، پدید آمده باشد. شواهد زمین‌شناسی و مجموعه‌های سنگی گزارش شده در منطقه گویای فعالیت پنجره زمین‌ساختی در اثر فرورانش پسته فعال اقیانوسی هنگام فرورانش در منطقه هستند. بر این اساس، آدکیت‌های بررسی شده همراه با دیگر سنگ‌های کمان در جایگاه فرافرورانشی و در حاشیه نزدیک به پنجره زمین‌ساختی در لبۀ شمالی پهنهٔ البرز پدید آمده‌اند.

سپاس‌گزاری

این پژوهش نتیجهٔ بخشی از پایان‌نامهٔ دکتری با عنوان «پترولوژی و زمین‌شیمی سنگ‌های آذرین منطقه رستم‌آباد در جنوب گیلان، شمال ایران» است که با پشتیبانی و همراهی معاونت پژوهشی دانشگاه آزاد اسلامی واحد لاهیجان انجام شده است. از این‌رو، از معاونت پژوهشی دانشگاه آزاد اسلامی واحد لاهیجان سپاس‌گزاری می‌شود.

برپایهٔ ویژگی‌های زمین‌شیمیابی، در ترکیب این سنگ‌ها، $\text{MgO} < 3\text{ wt\%}$, $\text{SiO}_2 > 56\text{ wt\%}$, $\text{Yb} > 14\text{ ppm}$, $\text{Y} > 13\text{ ppm}$, $\text{Sr} > 300\text{ ppm}$ و $\text{La/Y} > 20\text{ ppm}$ است و از این‌رو، این سنگ‌ها همانند آدکیت‌های پرسیلیس هستند. همه نمونه‌ها روی نمودارهای عنصرهای کمیاب و خاکی کمیاب بهنجارشده به ترکیب کندrit و گوشته اولیه، روند موازی هم دارند. همچنان، غنی‌شدنی از LREE و HFSE نسبت به HREE و LILE و $\text{Ba/Ta} > \text{Nb/Ta}$ بی‌هنجاری منفی Ti و Nb بدون آنومالی منفی Eu نشان می‌دهند. آنومالی منفی این عنصرها و نسبت بالای Ba/Nb و Ba/Ta همراه با جایگاه نمونه‌ها روی نمودارهای مختلف تفکیک محیط زمین‌ساختی، گویای پیدایش نمونه‌های بررسی شده در محیطی وابسته به فرورانش در حاشیهٔ فعال قاره‌ای هستند. نمودارهای تعیین خاستگاه آدکیت‌ها نشان‌دهندهٔ خاستگاه آدکیت‌های جدایشده از ذوب ورقهٔ فرورانش در جایگاه کمان برای نمونه‌های بررسی شده است و نبود الگوی جدایشی شدید در نمودار REE بهنجارشده به ترکیب کندrit و الگوی کاوی HREE پیدایش آنها از ذوب پوسته اقیانوسی فرورونده را نشان می‌دهد.

References

- Amidi, S. M., Emami, M. H., and Michel, R. (1984) Alkali character of Eocene volcanism in the middle part of central Iran and its geodynamic situation. *Geologische Rundschau*, 73, 917–932.
- Annells, R. N., Arthurton, R. S., Bazley, R. A., and Davies, R. G. (1975) Explanatory text of the Qazvin and Rasht Quadrangle Map. Geological Survey of Iran, Tehran, Iran.
- Asiabanza, A., Ghasemi, H., and Meshkin, M. (2009) Paleogene continental-arc type volcanism in North Qazvin, North Iran: facies analysis and geochemistry. *Neues Jahrbuch für Mineralogie – Abhandlungen*, 186(2), 201-214.
- Asiabanza, M., Bardintzeff, J. A. M. A., Kananian, A., and Rahimi, G. (2012) Post-Eocene volcanics of the Abazar district, Qazvin, Iran: Mineralogical and geochemical evidence for a complex magmatic evolution. *Journal of Asian Earth Sciences*, 45, 79-94.
- Atherton, M. P., and Petford, N. (1993) Generation of sodium-rich magmas from newly underplated basaltic crust. *Nature*, 362, 144–146.
- Axen, G. J., Lam, P. S., Grove, M., Stockli, D. F., and Hassanzadeh, J. (2001) Exhumation of the west-central Alborz Mountains, Iran, Caspian subsidence, and collision-related tectonics. *Geology*, 29(6), 559–562.

- Babaey, S., Dehbozorgi, M., and Hakimi Asiabar, S. (2017) Assessment of active tectonics by using morphometric indices in Central Alborz. Iranian Association of Geomorphology, Quarterly Quantitative Geomorphological researches, 6(1), 40-56.
- Berberian, M., and King, G. C. P. (1981) Toward a paleogeography and tectonic evolution of Iran. Canadian Earth Science, 18(2), 210-265 (in Persian).
- Berberian, F., Muir, I. D., Pankhurst, R. J., and Berberian, M. (1982) Late Cretaceous and early Miocene Andean type plutonic activity in northern Makran and central Iran. Journal of the Geological Society, 139(5), 605–614.
- Castillo, P. R. (2006) An overview of adakite petrogenesis. Chinese Science Bulletin, 51(3), 257–268.
- Castillo, P. R. (2012) Adakite petrogenesis. Lithos, 134–135(3), 304–316.
- Caillat, C., Dehlavi, P., and Martel-Jantin, B. (1978) Géologie de la région de Saveh (Iran). Contribution à l'étude du volcanisme et du plutonisme Tertiaires de la zone de l'Iran Central. Thèse de 3ème cycle, Grenoble, France.
- Chappell, W., and White, A. J. R. (1992) I and S-type granites in the Lachlan Fold Belt. Transactions of the Royal Society of Edinburgh: Earth Sciences, 83, 1-26.
- Condie, K. C. (2005) TTGs and adakites: are they both slab melts? Lithos, 80(1–4), 33-44.
- Defant, M. J., and Drummond, M. S. (1990) Derivation of some modern arc magmas by melting of young subducted lithosphere. Nature, 347, 662-665.
- Defant, M. J., and Kepezhinskas, P. (2001) Evidence suggests slab melting in arc magmas. EOS Transaction 20, American Geophysical Union, Washington, DC, 82(6), 67-69.
- Defant, M. J., Xu, J. F., Kepezhinskas, P., Wang, Q., and Xiao, L. (2002) Adakites: some variations on a theme. Acta Petrologica Sinica, 18(2), 129- 142.
- Dokuz, A., Uysal, I., Meisel, W., Turan, M., Duncan, R., and Akçay, M. (2013) Post-collisional adakitic volcanism in the eastern part of the Sakarya Zone, Turkey: Evidence for slab and crustal melting. Contributions to Mineralogy and Petrology, 166, 1443–1468.
- Ebrahimi Nasir Mahaleh, E. (2021) Petrology and geochemistry of South of Rostam_Abad igneous rocks in Southern Guilan, Northern Iran. M.Sc. Thesis, Islamic Azad University, Lahijan Branch.
- Eftekhari Nejad, J. (1980) Tectonic classification of Iran in relation to depositional basins. Journal of Iranian Petroleum Society, 82, 19-28.
- Elburg, M. A., Bergen, M. V., Hoogewerff, J., Foden, J., Vroon, P., Zulkarnain, I., and Nasution, A. (2002) Geochemical trends across an arc-continent collision zone: magma sources and slab-wedge transfer processes below the Pantar Strait volcanoes, Indonesia. *Geochemica et Cosmochimica Acta*, 66(15), 2771–2789.
- Eyüboğlu, Y., Santosh, M., Yi, K., Bektaş, O., and Kwon, S. (2012) Discovery of Miocene adakitic dacite from the Eastern Pontides Belt (NE Turkey) and a revised geodynamic model for the late Cenozoic evolution of the Eastern Mediterranean region. *Lithos*, 146-147, 218–232.
- Eyüboğlu, Y., Dudas, F. O., Santosh, M., Eroğlu-Gümruk, T., Akbulut, K., Yi, K., and Chatterjee, N. (2018) The final pulse of the Early Cenozoic adakitic activity in the Eastern Pontides Orogenic Belt (NE Turkey): An integrated study on the nature of transition from adakitic to non-adakitic magmatism in a slab window setting. *Journal of Asian Earth Sciences*, 157, 141-165.
- Fazelvalipour, M. E. (2021) Petrography, geochemistry and petrogenesis of high-silica Adakitic rocks from Bayram Abad area in the northwest Neyshabour (Northeast of Iran). *Petrological Journal*, 12(45), 113-134. (in Persian with English Abstract).

- Ghasemi, A., and Talbot, C. J. (2005) A new tectonic scenario for the Sanandaj-Sirjan Zone (Iran). *Journal of Asian Earth Sciences*, 26(6), 683-693.
- Ghasemi, H., Teymoori, S. S., and Asiabanhā, A. (2012) Geochemistry, tectonic setting and petrogenesis of volcanic rocks Jirandeh, Northwest of Qazvin. *Iranian Journal of Geology*, 6(22), 17-33 (in Persian).
- Ghorbani, M. (2013) The economic geology of Iran (Mineral Deposits and Natural Resources). Springer, Netherlands.
- Gill, J. B. (1981) Orogenic andesites and plate tectonics. Springer, Berlin.
- Guo, Z., Hertogen, J., Liu, J., Pasteels, P., Boven, A., Punzalan, L., He, H., Luo, X., Guo, Z. F., Wilson, M., and Liu, J. Q. (2007) Post-collisional adakites in south Tibet: products of partial melting of subduction-modified lower crust. *Lithos*, 96(1-2), 205–224.
- Hakimi Asiabar, S., Pourkermani, M., Shahriari, S., Ghorbani, M., and Ghasemi, M. R. (2011) Geological zones of western Alborz Mountains. *Journal of Sciences Islamic Azad University*, 21(81), 113- 124 (in Persian).
- Hakimi Asiabar, S. (2010) Collisional tectonics of western Alborz range on the basis of structural deformations of Dorfak-Somamous area. Ph.D. in Geology-Tectonics, Shahid Beheshti University, Tehran, Iran.
- Haghnazari, S., and Shafeie, Z. (2013) The role of MORB-mantle source and continental crust in genesis of Tertiary volcanic rocks of Nash area in the east of Roudbar, North of Iran. *Petrological Journal*, 4(15), 39-54 (in Persian with English Abstract).
- Harris, N. B. W., Pearce, J. A., and Tindle, A. G. (1986) Geochemical characteristics of collision-zone magmatism. *Geological Society, London, Special Publications*, 19(1), 67-81.
- Hawkesworth, C. J., Turner, S. P., McDermott, F., and van Calsteren, P. (1997) U-Th isotopes in arc magmas: implications for element transfer from the subducted crust. *Science*, 276(5312), 551–555.
- He, X., Tan, S., Liu, Z., Bai, Z., Wang, X. Wang, Y., and Zhong, H. (2020) Petrogenesis of the Early Cretaceous Aolunhua Adakitic Monzogranite Porphyries, Southern Great Xing'an Range, NE China: Implication for Geodynamic Setting of Mo Mineralization. *Minerals*, 10(4), 332.
- Ilbeyli, N., Pearce, J. A., Thirlwall, M. F., and Mitchell, J. G. (2004) Petrogenesis of collision-related plutonics in Central Anatolia, Turkey. *Lithos*, 72(3-4), 163– 182.
- Jackson, J., Priestley, K., Allen, M., and Berberian, M. (2002) Active tectonics of the South Caspian Basin. *Geophysical Journal International*, 148(2), 214–245.
- Kaz'min, V. G., and Tikhonova, N. F. (2006) Late Cretaceous–Eocene Marginal Seas in the Black Sea–Caspian Region: Paleotectonic Reconstructions. *Geotectonics*, 40(3), 169–182.
- Lopez, S., and Castro, A. (2001) Determination of the fluid-absent solidus and supersolidus phase relationships of MORB-derived amphibolites in the range 4-14 kbar. *American Mineralogist*, 86(11-12), 1396-1413.
- Jung, D., Küsten, M., and Tarkian, M. (1976) Post-Mesozoic volcanism in Iran and its relation to the subduction of the Afro- Arabian under the Eurasian plate. In: Afar between continental and oceanic rifting (Eds. Pilger, A., and Rosler, A. E.) 175–18. Schweizerbart'sche Verlagsbuchhandlung, Stuttgart.
- Karsli, O., Dokuz, A., Uysal, I., Aydin, F., Kandemir, R., and Wijbrans, R. J. (2010) Generation of the early Cenozoic adakitic volcanism by partial melting of mafic lower crust, Eastern Turkey: Implications for crustal thickening to delamination. *Lithos*, 114(1), 109–120.

- Kay, R. W. (1978) Aleutian magnesian andesites: Melts from subducted Pacific Ocean crust. *Journal of Volcanology and Geothermal Research*, 4(1-2), 117–132.
- Khodami, M., Noghreyan, M., and Davoudian, A. R. (2009) Pliocene–Quaternary Adakite volcanism in the Isfahan area, Central Iranian magmatic belt. *Neues Jahrbuch für Mineralogie-Abhandlungen Band*, 186, 235 – 248.
- Királya, Á., Portnerb, D. E., Hayniede, K. L., Chilson- Park, B. H., Ghoshg, T., Jadamecdh, M., Makushkinai, A., Mangaj, M., Moresiik, L., and O'Farrelll, K. A. (2020) The effect of slab gaps on subduction dynamics and mantle upwelling. *Tectonophysics*, 785, 228-458.
- Liu, S. A., Li, S., Hea, Y., and Huangb, F. (2010) Geochemical contrasts between early Cretaceous ore-bearing and ore-barren High-Mg adakites in central-eastern China: implications for petrogenesis and Cu-Au mineralization. *Geochim. Cosmochim. Acta*, 74(24), 7160–7178.
- Macpherson, C. G., Dreher, S. T., and Thirlwall, M. F. (2006) Adakites without slab melting: High-pressure differentiation of island arc magma, Mindanao, the Philippines. *Earth and Planetary Science Letters*, 243(3-4), 581–593.
- Martin, H., Smithies, R. H., Rapp, R., Moyen, J. F., and Champion, D. (2005). An overview of adakite, tonalite–trondhjemite–granodiorite (TTG), and sanukitoid: relationships and some implications for crustal evolution. *Lithos*, 79(1-2), 1–24.
- Martin H. (1999) Adakitic magmas: modern analogues of Archaean granitoids. *Lithos*, 46(3), 411-429.
- Mbassa, B. J., Itiga, Z., Ngwa, C. N., Bessong, M., Ntepe, M., Njonfang, E., and Kamgang, E. (2021) Evidence of adakitic signature in Pan-African basement rocks from the Mbengwi region (NW Cameroon): constraints from whole rock chemistry and Sr-Nd isotopes. *Arabian Journal of Geosciences*, 14, 1-9.
- Middlemost, E. A. K. (1985) Magmas and Magmatic Rocks. An Introduction to Igneous Petrology. Addison-Wesley Longman Ltd., London, England.
- Mohammadi, H. R., Mohammadi, S. S., Nakhaei, M., and Zarrinkoub, M. H. (2017) Petrography and Geochemistry of post-collisional adakites and Nb-enriched basalts association in the Sang-e-Rahuzg area (south of Birjand). *Petrological Journal*, 30, 55-80 (in Persian with English Abstract).
- Moharami Gargari, F., Gorbani, M., Pourmoafee, M., and Mirmohammadi, M. (2015) Geochemistry and petrogenesis of Adakitic rocks from the Kiyamaki magmatic dome, southeast Jolfa (NW Iran). *Iranian Journal of Crystallography and Mineralogy*, 23(2), 241-256 (in Persian).
- Moyen, J. F. (2009) High Sr/Y and La/Yb ratios: The meaning of the Adakitic signature. *Lithos*, 112(3-4), 556-574.
- Nabavi, M. H. (1976) Introductory of geology in Iran. Geological Survey of Iran Publication, Tehran (in Persian).
- Nakamura, N. (1974) Determination of REE, Ba, Fe, Mg, Na, and K in carbonaceous and ordinary chondrites. *Geochimca Cosmochimca Acta*, 38(5), 757–775.
- Nazari, H., and Salamat, R. (1998) Geological map of Rudbar 1:100000. Geological Survey of Iran, Tehran.
- Nemati, N., Aghazadeh, M., and Badrzadeh, Z. (2018) Geochemistry and petrogenesis of Eocene shoshonitic and adakitic volcanic rocks in Sonajeel area (Southeast of Heris, Eastern Azerbaijan). *Petrological Journal*, 9(35), 147-172 (in Persian with English Abstract).
- Oyarzun, R., Marques, A., Lillo, J., Lopez, I., and Rivera, S. (2001) Gant versus small

- porphyry copper deposits of Cenozoic age in northern Chile: adakitic versus normal calc-alkaline magmatism. *Mineral Deposita*, 36, 794-798.
- Pearce, J. A. (1983) Role of the sub-continental lithosphere in magma genesis at active continental margins. In: *Continental basalts and mantle xenoliths* (Eds. Hawkesworth, C. J., and Norry, M. J.) 230–249. Shiva Publishing, Nantwich, England.
- Pearce, J. A., Harris, B. W., and Tindle, A. G. (1984) Trace element of discrimination diagrams for the tectonic interpretation of granitic rocks. *Journal of Petrology*, 25(4), 956–983.
- Pe-Piper, G., Piper, D. J. W., and Matarangas, D. (2002) Regional implications of geochemistry and style of emplacement of Miocene I-type diorite and granite, Delos, Cyclades, Greece. *Lithos*, 60 (1-2), 47- 66.
- Prouteau, G., Scaillet, B., Pichavant, M., Pichavant, M., and Maury, R. C. (1999) Fluid-present melting of ocean crust in subduction zones. *Geology*, 27(12), 111–114.
- Rapp, R. P., and Watson, E. B. (1995) Dehydration melting of metabasalt at 8–32 kbar: implications for continental growth and crust-mantle recycling. *Journal of Petrology*, 36(4), 891–931.
- Rapp, R. P., Watson, E. B., and Miller, C. F. (1991) Partial melting of amphibolite/eclogite and the origin of Archean trondhjemites and tonalities. *Precambrian Research*, 51(1-4), 1–25.
- Rapp, R. P., Shimizu, N., Norman, M. D., and Applegate, G. S. (1999) Reaction between slab-derived melts and peridotite in the mantle wedge: experimental constraints at 38 GPa. *Chemical Geology*, 160, 335–356.
- Rapp, R. P., Xiao, L., and Shimizu, N. (2002) Experimental constraints on the origin of potassium-rich adakite in east China. *Acta Petrologica Sinica*, 18(3), 293–311.
- Rezania ye Komachali, M. (2021) Petrology and geochemistry of Eshkaverat granitoid dome in eastern Guilan, Northern Iran. M.Sc. Thesis, Islamic Azad University, Lahijan Branch, Lahijan, Iran.
- Reich, M., Parada, M., Palacios, C., Dietrich, A., Schultz, F., and Lehman, B. (2003) Adakite-like signature of Late Miocene intrusions at the Los Pelambres giant porphyry copper deposit in the Andes of central Chile: metallogenetic implications. *Mineral. Deposita*, 38(7), 876-885.
- Rosu, E., Seghedi, I., Downes, H., Alderton, D. H. M., Szakacs, A., Panaiotu, C. E., and Nedelcu, L. (2004) Extension-related Miocene calc-alkaline magmatism in the Apuseni Mountains, Romania: Origin of magmas. *Schweizerische Mineralogische und Petrographische Mitteilungen*, 84(1), 153-172.
- Salavati, M., Kananian, A., Samadi Soofi, A., and Zaeimnia, F. (2009) Mineral chemistry of ultramafic rocks from the Southern Caspian Sea Ophiolite (Eastern Guilan): evidence for a high-pressure crystal Fractionation, petrology. *Iranian Journal of Crystallography and Mineralogy*, 17(1), 149-166 (in Persian).
- Salavati, M., Kananian, A., and Noghreian, M. (2012) Geochemical characteristics of volcanic suite from the eastern Guilan Province Ophiolite complex in North of Iran. *Journal of applied sciences*, 12(1), 1-11.
- Salavati, M., Kananian, A., and Noghreian, M. (2013) Geochemical characteristics of mafic and ultramafic plutonic rocks in southern Caspian Sea Ophiolite (Eastern Guilan). *Arabian Journal of Geosciences*, 6(12), 4851-4858.
- Salavati, M., Kananian, A., Noghreian, M., Darvishzadeh, A., and Samadi Soofi, A. (2008). Discovery of a Neo-Tethyan ophiolite in the north of Iran and evidence for its formation at a slow-spreading center. *General Contributions, Journal of the Virtual*

- Explorer, 28. <https://doi.org/10.3809/jvirtex.2008.00188>.
- Seghedi, I., Downes, H., Vaselli, O., Szakacs, A., Balogh, K., and Peckay, Z. (2004) Post-collisional Tertiary-Quaternary mafic alkali magmatism in the Carpathian-Pannonian region: a review. *Tectonophysics*, 393(1-4), 43-62.
- Sherafat, S., and Aliyari, A. R. (2020) Petrography and geochemistry of subvolcanic rocks in the north of Torud (west of Torud-Chah Shirin magmatic arc). *Petrological Journal*, 11(42), 105-124 (in Persian with English Abstract).
- Skjerlie, K. P., and Patino Douce, A. E. (2002) The fluid-absent partial melting of a zoisite-bearing quartz eclogite from 10 to 32 GPa: implications for melting in thickened continental crust and for subduction-zone processes. *Journal of Petrology*, 43(2), 291-314.
- Shahabpour, J. (2007) Island-arc affinity of the Central Iranian volcanic belt. *Journal of Asian Earth Sciences*, 30(5-6), 652-665.
- Stöcklin, J. (1968) Structural history and tectonics of Iran: a review. *American Association of Petroleum Geologists Bulletin*, 52(7), 1229-1258.
- Sun, S., and McDonough, W. F. (1989) Chemical and isotopic systematics of ocean basalts: Implications for mantle composition and processes. *Geological Society, London, Special Publications*, 42, 313-345.
- Taki, S., Darvishzadeh, A., Ghaderi, M., and Khosrow Tehrani, K. (2009) Lithologic sequence and geochemical characteristics of Second phase of Paleogene volcanic rocks in Deylaman area, Western Alborz. *Iranian Journal of Crystallography and Mineralogy*, 17(2), 240-252 (in Persian).
- Temizle, I., and Arslan, M. (2008) Petrology and geochemistry of Tertiary volcanic rocks from the Ikizce (Ordu) area, NE Turkey: Implications for the evolution of the eastern Pontide paleo-magmatic arc. *Journal of Asian Earth Sciences*, 31(4-6), 439-463.
- Teymoori, S. S., Asiabanza, A., and Ghasemi, H. (2018) The role of crustal contamination and differentiation in the formation of the Eocene volcanic rocks in Jirande area (Northwest of Qazvin). *Petrological Journal*, 33(1), 71-90 (in Persian with English Abstract).
- Thorkelson, D. J., and Breitsprecher, K. (2005) Partial melting of slab window margins: genesis of adakitic and non-adakitic magmas. *Lithos*, 79(1), 25-4.
- Vroon, P. Z., VanBergen, M. J., White, W. M., and Varekamp, J. C. (1993) Sr-Nd-Pb isotope systematics of the Banda Arc, Indonesia: combined subduction and assimilation of continental material. *Journal of Geophysical Research*, 98(B12), 22349-22366.
- Wang, Z., Zhao, Z., Li, X., Asimow, P. D., Liu, D., Mo, X., Qi, N., Tang, Y., Wang, Q., Zhu, D-C., Zhang, L., and Sheikh, L. (2021) Late Cretaceous adakitic and A-type granitoids in Chanang, southern Tibet: Implications for Neo-Tethyan slab rollback. *Gondwana Research*, 96, 89-104.
- Wang, Q., Wyman, D. A., Xu, J. F., Wan, Y. S., Li, C. F., Zi, F., Jiang, Z. Q., Qiu, H. N., Chu, Z. Y., Zhao, Z. H., and Dong, Y. H. (2008) Triassic Nb-enriched basalts, magnesian andesites, and adakites of the Qiangtang terrane (Central Tibet): evidence for metasomatism by slab-derived melts in the mantle wedge. *Contributions to Mineralogy and Petrology*, 155(4), 473-490.
- Wang, K., Plank, T., Walker, J. D., and Smith, E. I. (2002) A mantle melting profile across the Basin and Range, SW USA. *Journal of Geophysical Research-Atmospheres*, 107.
- White, A. J. R., and Chappell, B. W. (1993) Granitoid types and their distribution in the Lachlan Fold Belt, southeastern Australia. *Geological Society American Memory*,

- 159, 21-34.
- Wilson, M. (1989) Igneous petrogenesis, A global tectonic approach. Chapman and Hall, London.
- Winchester, J. A., and Floyd, P. A. (1977) Geochemical discrimination of different magma series and their differentiation products using immobile elements. *Chemical Geology*, 20, 325-343.
- Windley, B. F., and Xiao, W. (2018) Ridge subduction and slab windows in the Central Asian Orogenic Belt: Tectonic implications for the evolution of an accretionary orogen. *Gondwana Research*, 61, 73–87.
- Winter, D. A. (2001) An introduction to igneous and metamorphic petrology. Prentice Hall, Upper Saddle River.
- Whitney, D. L., and Evans, B. W. (2010) Abbreviations for names of rock-forming minerals. *American Mineralogist*, 95, 185–187.
- Xiao, L., Zhang, H. F., Clemens, J. D., and Wang, Q. W. (2007) Late Triassic granitoids of the eastern margin of the Tibetan Plateau: petrogenesis and implications for tectonic evolution. *Lithos*, 96(3-4), 436-452.
- Xu, J. F., Shinjo, R., Defant, M. J., Wang, Q., and Rapp, R. P. (2002) Origin of Mesozoic adakitic intrusive rocks in the Ningzhen area of east China: Partial melting of delaminated lower continental crust? *Geology*, 30(12), 1111–1114.
- Yan, J., Chen, J., and Xu, X. (2008) Geochemistry of Cretaceous mafic rocks from the Lower Yangtze region, eastern China: Characteristics and evolution of the lithospheric mantle. *Journal of Asian Earth Science*, 33(3-4), 177–193.
- Yousefi, F., Sadeghian, M., Samyari, S., and Ghasemi, H. (2016) Geochemistry and Tectonic setting of high silica adakitic domes of Ahmad Abad Khartouran (South East of Shahrood). *Scientific Quarterly Journal of Geosciences*, 25(100), 291-298 (in Persian).
- Zaeimnia, F., Kananian, A., and Salavati, M. (2012) Petrogenesis of alkaline rocks of southern Amlash in south of Caspian Sea, North of Iran. *Geosciences Scientific Quarterly Journal*, 20(78), 69-78 (in Persian).
- Zhai, M., Fan, Q., Zhang, H., Sui, J., and Shao J. (2007) Lower crustal processes leading to Mesozoic lithospheric thinning beneath eastern North China: Underplating, replacement and delamination Mingguo. *Lithos*, 96, 36–54.
- Zhang, K. J. (2014) Genesis of the Late Mesozoic Great Xing'an Range Large Igneous Province in eastern central Asia: A Mongol–Okhotsk slab window model. *International Geology Review*, 56, 1557-1583.